

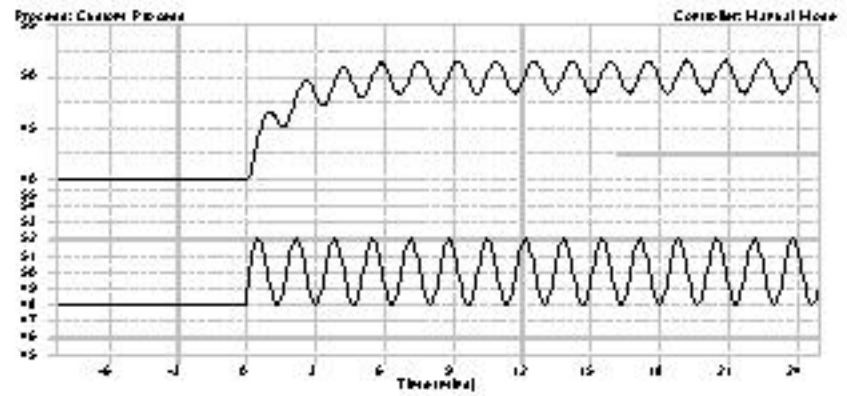
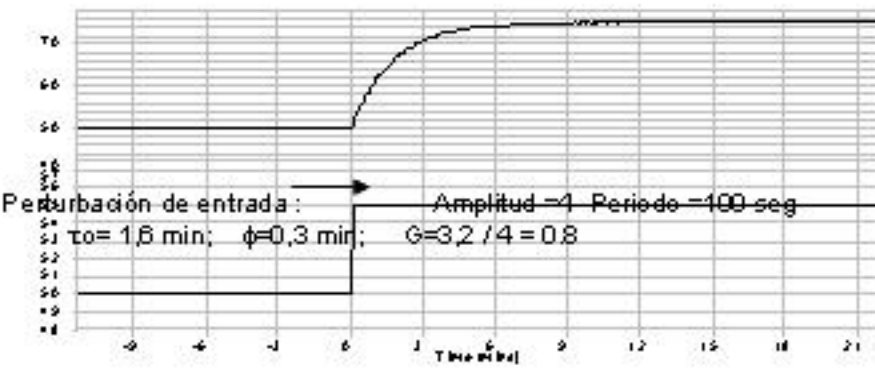
UNIDAD 3

# ANALISIS EN FRECUENCIA

# Primer orden

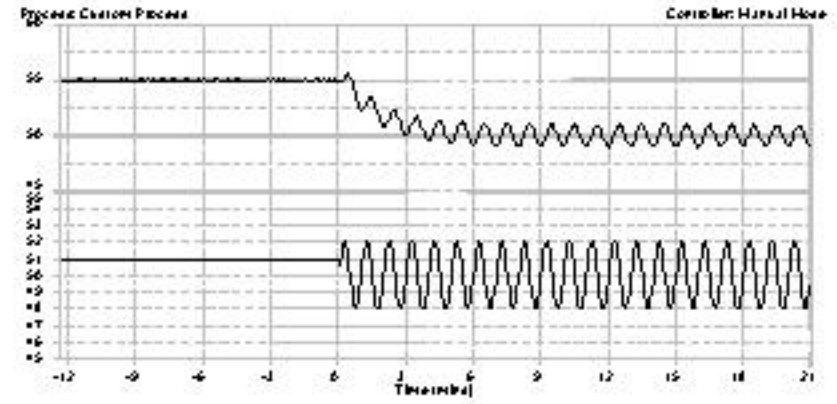
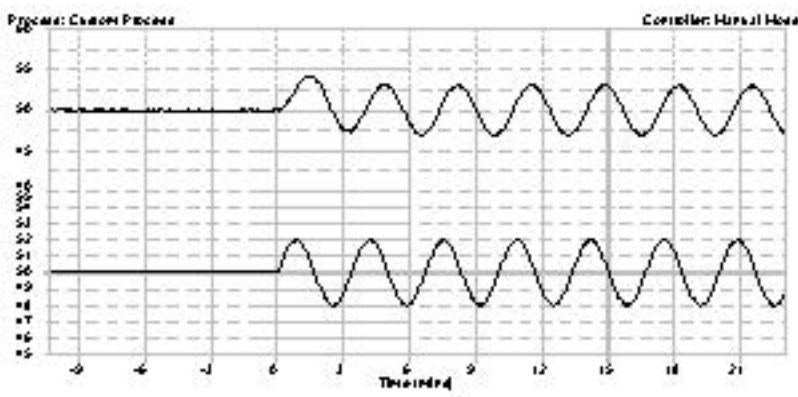
$\tau = 100$  seg       $K = 5$

Perturbación de entrada : Amplitud = 4    Periodo = 100 seg  
 $\tau_0 = 1,8$  min;     $\phi = 0,3$  min;     $G = 3,2 / 4 = 0,8$



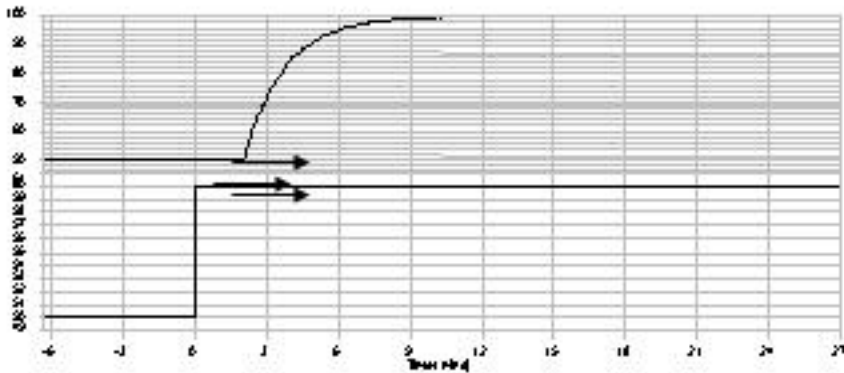
Perturbación de entrada : Amplitud = 4    Periodo = 200 seg  
 $\tau_0 = 3,2$  min;     $\phi = 0,6$  min;     $G = 4 / 4 = 1$

Perturbación de entrada : Amplitud = 4    Periodo = 60 seg  
 $\tau_0 = 1$  min;     $\phi = 0,2$  min;     $G = 1,1 / 4 = 0,275$

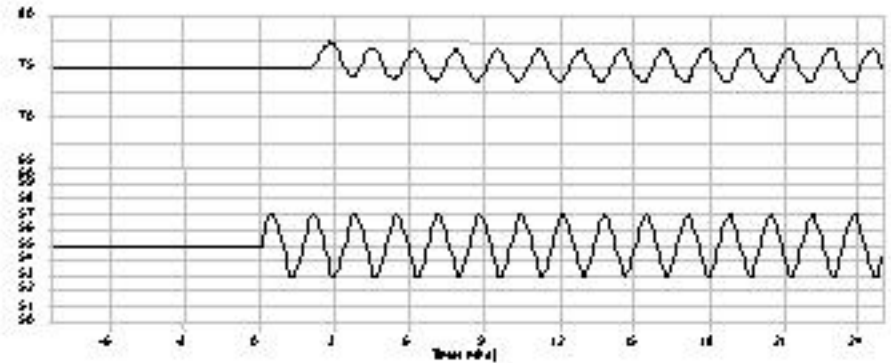


## Primer orden + tiempo muerto

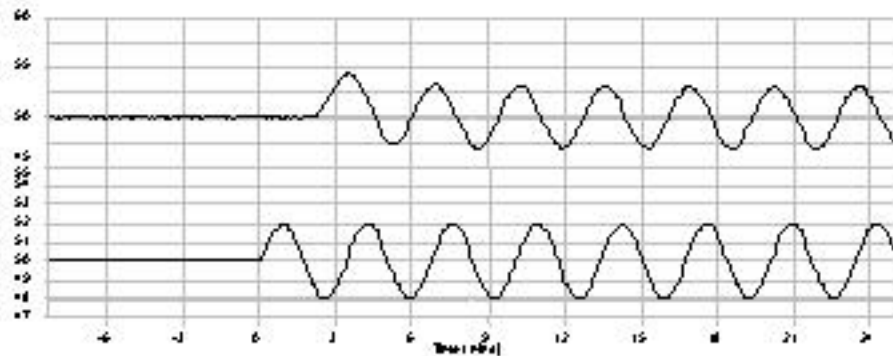
$$\tau_d = 120 \text{ seg} \quad \tau_1 = 100 \text{ seg} \quad K = 5$$



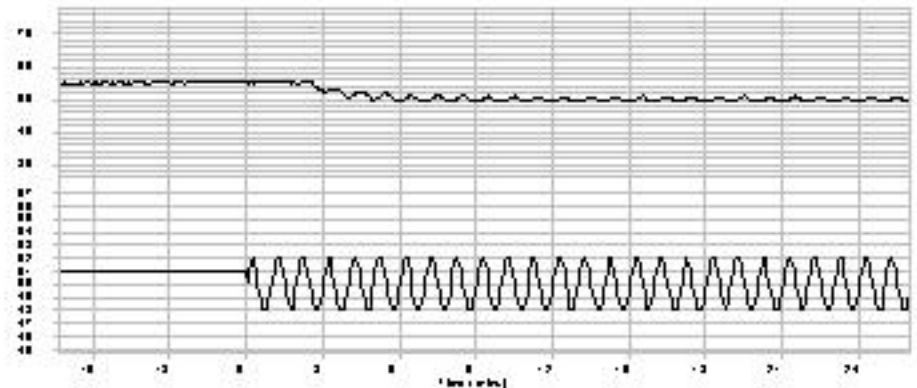
Perturbación de entrada : Amplitud = 4    Periodo = 100 seg  
 $\tau_0 = 1,7 \text{ min}$ ;  $\phi = 2,1 \text{ min}$      $G = 3,5 / 4 = 0,875$



Perturbación de entrada: Amplitud: 4    Período=200 seg  
 $\tau_0 = 3,4 \text{ min}$ ;  $\phi = 2,2 \text{ min}$      $G = 6,1 / 4 = 1,5$

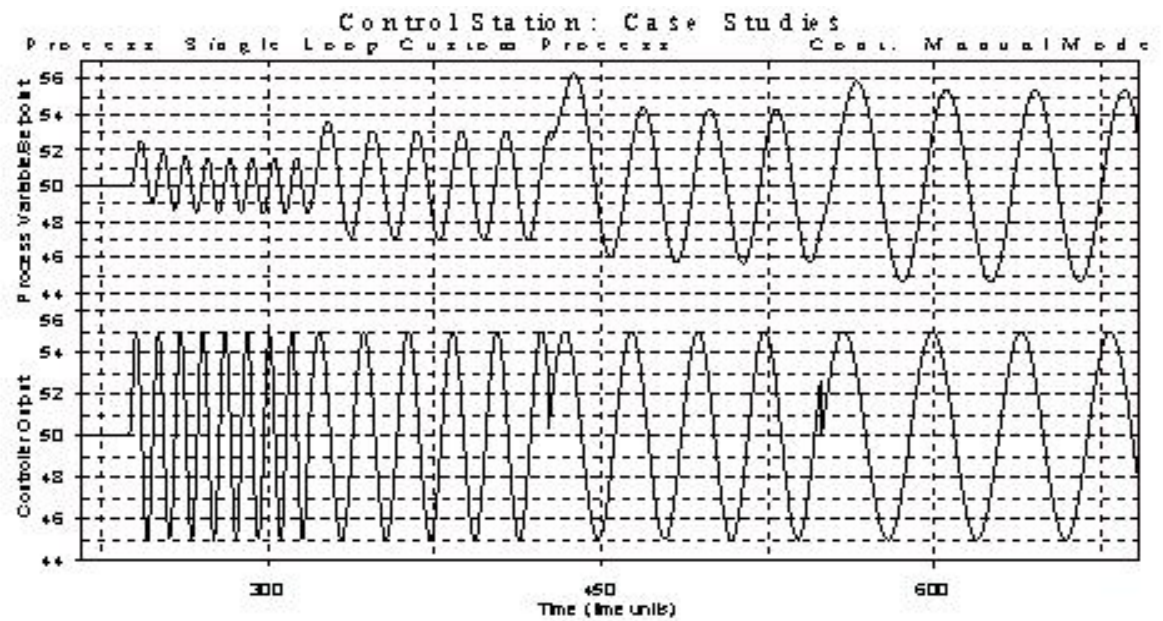


Perturbación de entrada : Amplitud = 4    Periodo = 60 seg  
 $\tau_0 = 1 \text{ min}$ ;  $\phi = 2,2 \text{ min}$ ;     $G = 1,9 / 4 = 0,475$



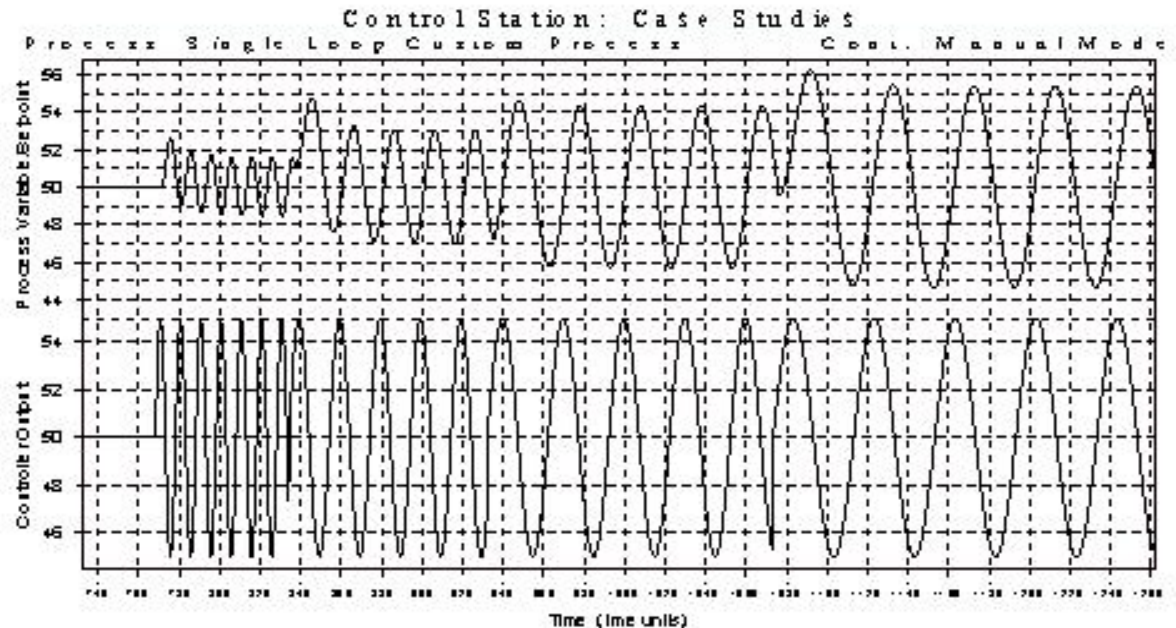
Proceso capacitivo de primer orden:

$$G(s) = \frac{k}{\tau s + 1}$$



Proceso capacitivo de primer orden + tiempo muerto:

$$G(s) = \frac{k e^{-t_0 s}}{\tau s + 1}$$



# Análisis en frecuencia

En capítulos anteriores se consideró la salida del sistema sujetos a una entrada impulso, escalón o rampa. Ahora ampliaremos al caso de una entrada senoidal. Ya que la forma en que ese sistema responde a una función senoidal es una fuente de información muy útil para el análisis y diseño de lazos de control.

El término *respuesta en frecuencia* se define como la respuesta en estado estable de un sistema a una entrada senoidal; la que se monitorea sobre un intervalo de frecuencias. La respuesta en estado estable es la que permanece después de que todos los transitorios han decaído a cero.

Existen varias técnicas para analizar los datos de la respuesta en frecuencia. Estudiaremos dos de ellas: la de Bode y la de Nyquist.

Si a un sistema lineal se aplica una entrada senoidal, la salida es también una senoidal y de la misma frecuencia. La salida puede diferir de la entrada en amplitud y fase. El cociente entre la amplitud de la salida y la amplitud de la entrada se conoce como **ganancia** (también llamada **magnitud o razón de amplitud**). El corrimiento de fase de la senoidal de salida en relación con la fase de la senoidal de entrada se denomina **fase**. La variación de la magnitud y la fase con la frecuencia se denomina *respuesta en frecuencia* del sistema.

$$G(s) = \frac{Y(s)}{X(s)} = \frac{K}{\tau \cdot s + 1}$$

$$x(t) = X_0 \cdot \text{sen} \omega t$$

$$X(s) = \frac{X_0 \omega}{s^2 + \omega^2}$$

$$Y(s) = \frac{K \cdot X_0 \omega}{(\tau \cdot s + 1) \cdot (s^2 + \omega^2)} \longrightarrow \text{Aplicando transformada de Laplace}$$



$$y(t) = \frac{K \cdot X_0 \omega \cdot \tau}{(1 + \omega^2 \tau^2)} \cdot e^{-t/\tau} + \frac{K \cdot X_0}{(1 + \omega^2 \tau^2)} [-\omega \tau \cdot \cos \omega t + \text{sen} \omega t]$$

Teniendo en cuenta que:  $A \cos at + B \text{sen} at = r \text{sen}(at + \theta) \longrightarrow r = \sqrt{A^2 + B^2} \quad \theta = \tan^{-1}\left(\frac{A}{B}\right)$

$$y(t) = \frac{K \cdot X_0 \omega \cdot \tau}{(1 + \omega^2 \tau^2)} \cdot e^{-t/\tau} + \frac{K \cdot X_0}{(1 + \omega^2 \tau^2)} \cdot \text{sen}(\omega t + \theta) \quad \left\{ \begin{array}{l} \theta = \tan^{-1}(-\omega \tau) = -\tan^{-1}(\omega \tau) \end{array} \right.$$

Pasado el transitorio, para  $t \rightarrow \infty$   $y(t) = \frac{K.X_0}{(1 + \omega^2 \tau^2)} .sen(\omega t + \theta)$

La amplitud de la señal de salida es:  $Y_0 = \frac{K.X_0}{\sqrt{1 + \omega^2 \tau^2}}$

La razón de amplitud es:  $\frac{Y_0}{X_0} = \frac{K}{\sqrt{1 + \omega^2 \tau^2}}$

El ángulo de fase es:  $\theta = -\tan^{-1}(\omega.t)$

Por lo tanto:

Generalizando:

$$\boxed{G(s) = \frac{Y(s)}{X(s)}} \quad X(s) = \frac{X_0 \omega}{s^2 + \omega^2} \quad \longrightarrow \quad Y(s) = G(s) \cdot \frac{X_0 \omega}{(s^2 + \omega^2)}$$

$$Y(s) = \frac{A}{(s + j\omega)} + \frac{B}{(s - j\omega)} + (\text{Términos para los polos de } G(s))$$

$$A = \lim_{s \rightarrow -j\omega} \left[ \frac{(s + j\omega) X_0 \omega G(s)}{(s^2 + \omega^2)} \right] = \frac{G(-j\omega) X_0 \omega}{-2j\omega}$$

$$B = \lim_{s \rightarrow j\omega} \left[ \frac{(s - j\omega) X_0 \omega G(s)}{(s^2 + \omega^2)} \right] = \frac{G(j\omega) X_0 \omega}{2j\omega}$$

$$\begin{aligned} r &= a + jb \\ a &= |r| \cdot \cos\phi \\ b &= |r| \cdot \text{sen}\phi \\ r &= |r| (\cos\phi + j\text{sen}\phi) \\ r &= |r| \cdot e^{j\phi} \end{aligned}$$

$$Y(s) = \frac{X(0) |G(j\omega)|}{2j} \left[ \frac{-e^{-j\phi}}{s + j\omega} + \frac{e^{j\phi}}{s - j\omega} \right] + (\text{Términos de } G(s))$$



$$Y(s) = \frac{X(0)|G(j\omega)|}{2j} \left[ \frac{-e^{-j\phi}}{s + j\omega} + \frac{e^{j\phi}}{s - j\omega} \right] + \text{Términos de } G(s)$$

Al antitransformar, podemos encontrar  $y(t)$

$$y(t) = \frac{X(0)|G(j\omega)|}{2j} \left[ -e^{-j\phi} \cdot e^{-j\omega t} + e^{j\phi} \cdot e^{j\omega t} \right] + \text{Términos transitorios}$$

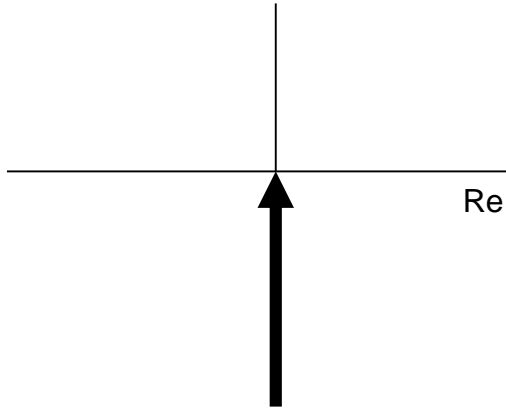
$$y(t) = X(0)|G(j\omega)| \cdot \left[ \frac{e^{j(\omega t + \phi)} - e^{-j(\omega t + \phi)}}{2j} \right] + \text{Términos transitorios}$$

$$\boxed{\text{sen}(\omega t) = \left[ \frac{e^{j\omega t} - e^{-j\omega t}}{2j} \right]}$$

Pasado el transitorio:

$$y(t) = X_0 |G(j\omega)| \cdot [\text{sen}(\omega t + \phi)]$$

## Diagrama de Nyquist- 1ª orden



### Capacitancia no autorregulada

$$G(j\omega) = \frac{1}{j\omega\tau} = \frac{(j\omega\tau)}{\omega^2\tau^2} = -\frac{j}{\omega\tau}$$

$$|G(j\omega)| = \sqrt{\text{Re}^2 + \text{Im}^2} = \frac{1}{\omega\tau}$$

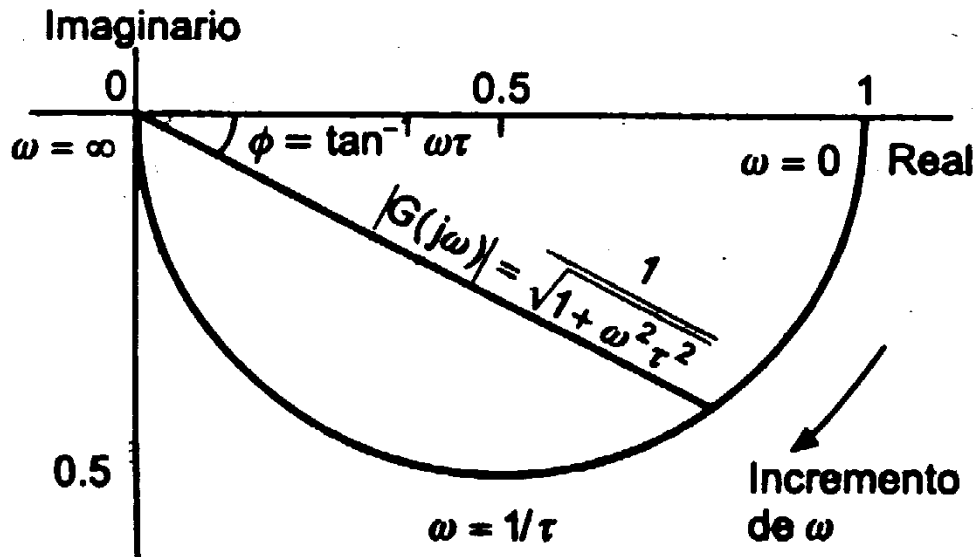
$$\phi = -\pi / 2$$

### Capacitancia autorregulada

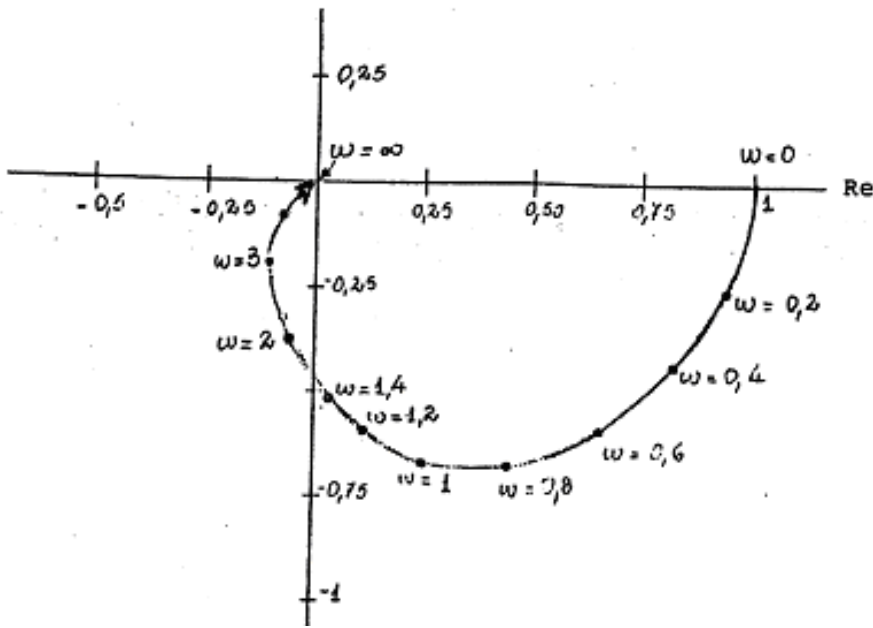
$$G(j\omega) = \frac{K}{1 + j\omega\tau} = \frac{K(1 - j\omega\tau)}{1 + \omega^2\tau^2}$$

$$|G(j\omega)| = \sqrt{\text{Re}^2 + \text{Im}^2} = \frac{K}{\sqrt{1 + (\omega\tau)^2}}$$

$$\phi = -\arctan(\omega\tau)$$



## Diagrama de Nyquist- 2ª orden



$$G(s) = \frac{K}{(1 + \tau_1 s)(1 + \tau_2 s)}$$

$$G(j\omega) = \frac{K}{(1 + j\omega\tau_1)(1 + j\omega\tau_2)}$$

$$G(j\omega) = K \frac{(1 - j\omega\tau_1)(1 - j\omega\tau_2)}{[1 + (\omega\tau_1)^2][1 + (\omega\tau_2)^2]}$$

$$G(j\omega) = K \frac{1 - \omega^2\tau_1\tau_2 - j(\omega\tau_1 + \omega\tau_2)}{[1 + (\omega\tau_1)^2][1 + (\omega\tau_2)^2]}$$

$$\text{Re}[G(j\omega)] = K \frac{1 - \omega^2\tau_1\tau_2}{[1 + (\omega\tau_1)^2][1 + (\omega\tau_2)^2]}$$

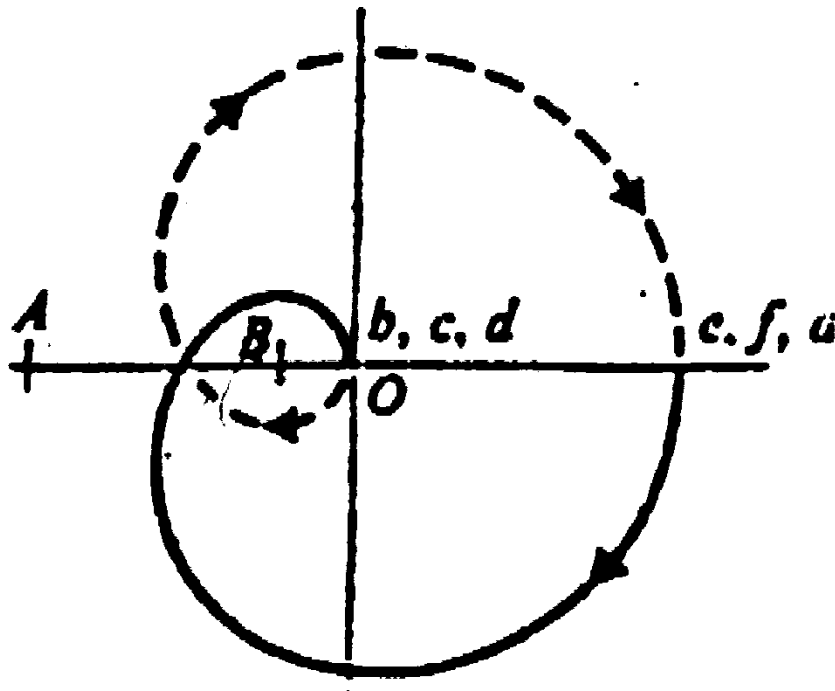
$$\text{Im}[G(j\omega)] = -K \frac{(\omega\tau_1 + \omega\tau_2)}{[1 + (\omega\tau_1)^2][1 + (\omega\tau_2)^2]}$$

## Criterio de estabilidad de Nyquist

$$N = Z - P$$

P= cant de polos a lazo abierto con parte real positiva

Z=cant de polos a lazo cerrado con parte real positiva



-1 en A  $\Rightarrow$  estable

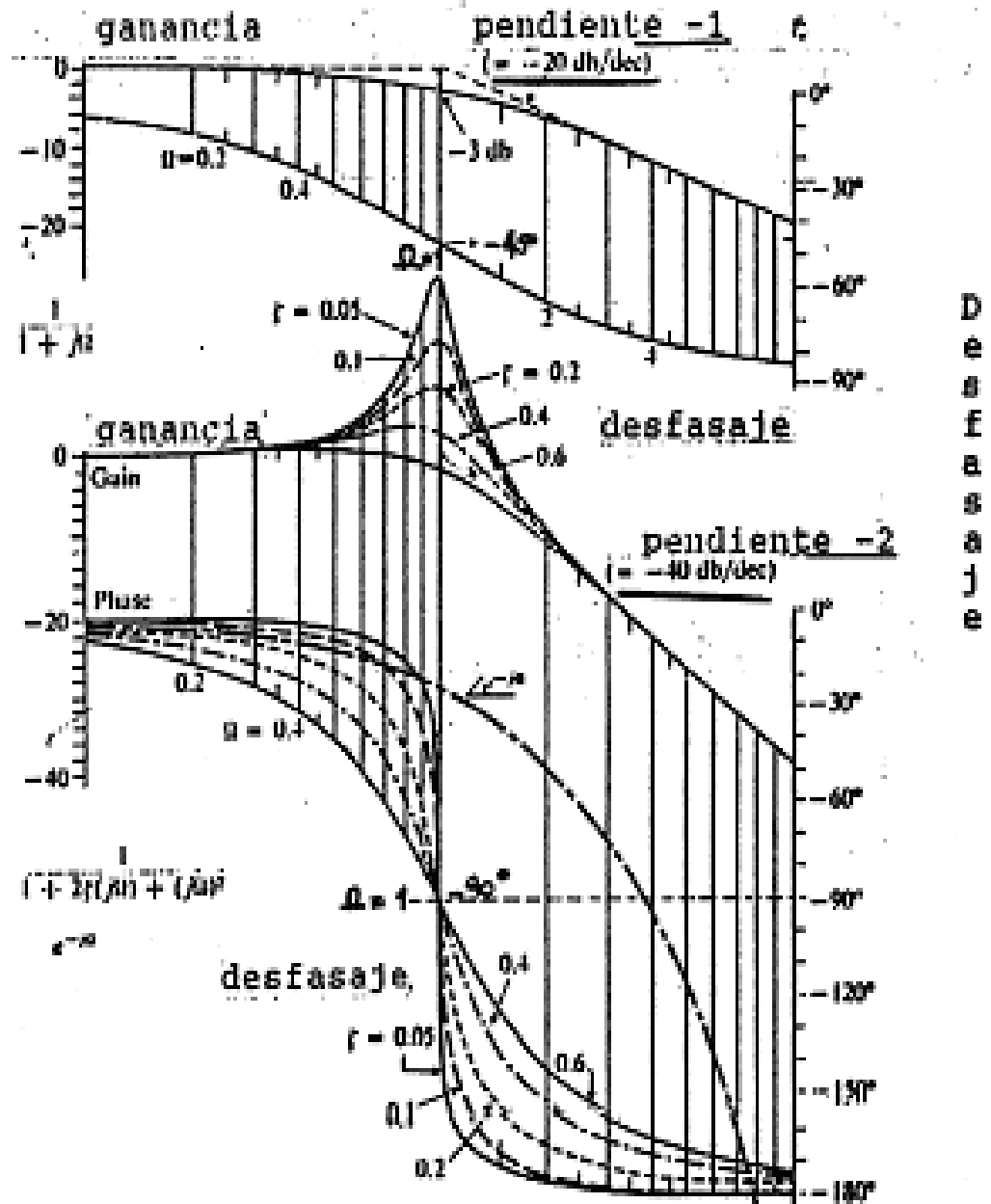
-1 en B  $\Rightarrow$  inestable

# Diagrama de Bode

$$G(s) = \frac{K}{(\tau.s + 1)}$$

G  
a  
n  
a  
n  
c  
i  
a  
  
(db)

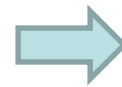
$$G(s) = \frac{K}{[1 + 2\zeta\tau.s + (\tau.s)^2]}$$



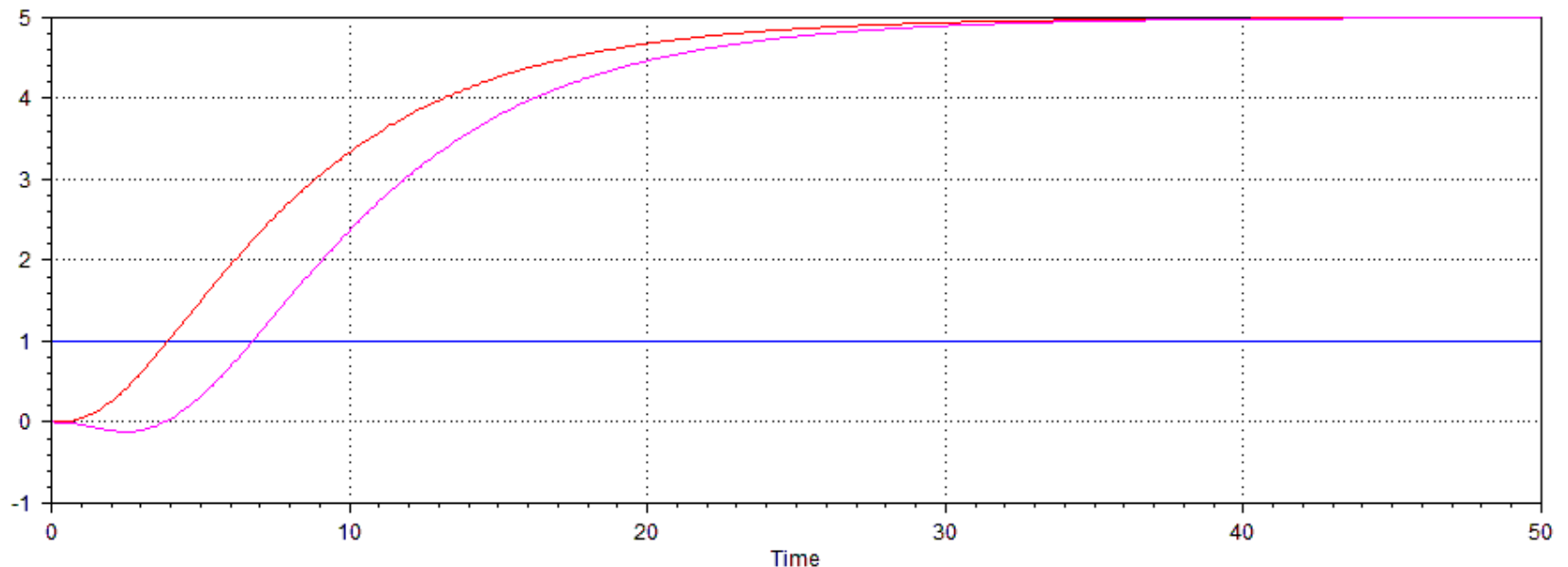
	Sistema estable	Límite de estabil.	Sistema inestable
Diagrama de Nyquist	<p>Margen de fase <math>\Delta\phi</math></p> <p>Left Right</p> <p><math>\omega_p</math> <math>\omega_s</math></p> <p><math>G(j\omega)</math></p> <p><math>\Delta\phi</math></p> <p><math>\omega</math></p>	<p><math>G(j\omega)</math></p> <p><math>\Delta\phi</math></p> <p><math>\omega_s</math></p> <p><math>\omega</math></p> <p><math>\frac{1}{2}</math></p>	<p><math>G(j\omega)</math></p> <p><math>\Delta\phi</math></p> <p><math>\omega_p</math> <math>\omega_s</math></p> <p><math>\omega</math></p>
Diagrama de Bode	<p>márgen de ganancia</p> <p>0 db</p> <p>márgen de ganancia</p> <p>márgen de fase <math>-180^\circ</math></p> <p><math>\log  G(j\omega) </math></p> <p><math>G(j\omega)</math></p> <p><math>\omega_p</math> <math>\omega_s</math></p> <p><math>\log \omega</math></p> <p><math>\omega_p &lt; \omega_s</math></p>	<p>Gain crossover</p> <p>0 db</p> <p>Gain crossover</p> <p>Phase crossover <math>-180^\circ</math></p> <p><math>G(j\omega)</math></p> <p><math>\omega_p</math></p> <p><math>\log \omega</math></p> <p><math>\omega_p = \omega_s = \omega_c</math></p>	<p>0 db</p> <p>Gain crossover</p> <p>Phase crossover <math>-180^\circ</math></p> <p><math>G(j\omega)</math></p> <p><math>\omega_p</math> <math>\omega_s</math></p> <p><math>\log \omega</math></p> <p><math>\omega_p &gt; \omega_s</math></p>

$$G(s) = \frac{5}{((6 * s + 1) * (2 * s + 1) * (s + 1))}$$

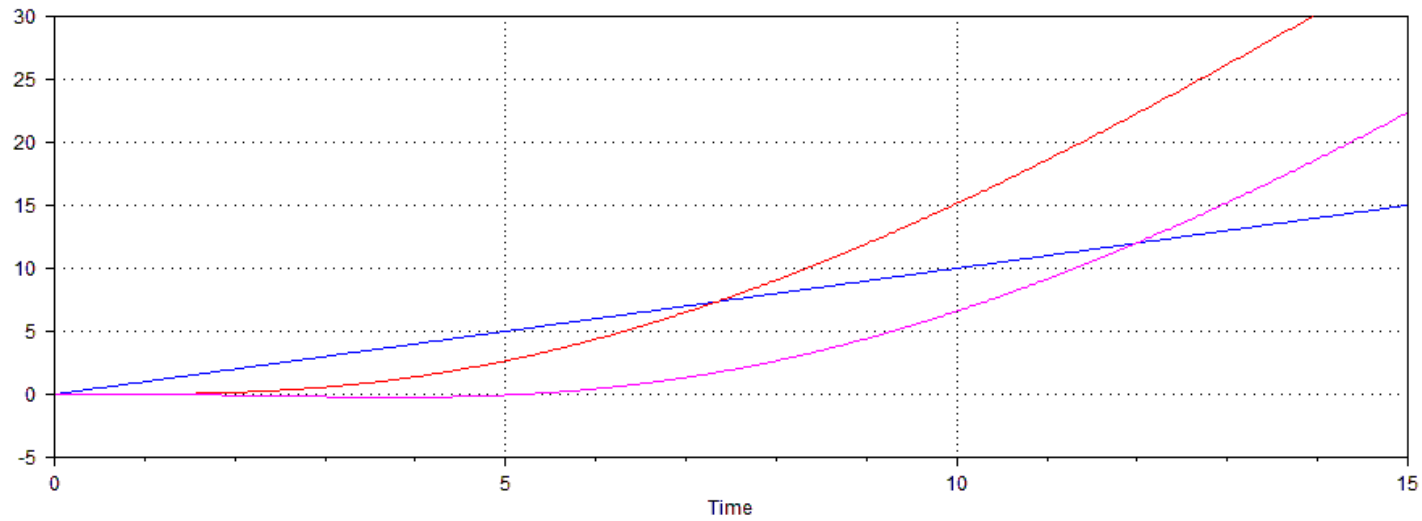
CC>g=5/((6\*s+1)\*(2\*s+1)\*(s+1))  
 CC>g1=pade(3,1)



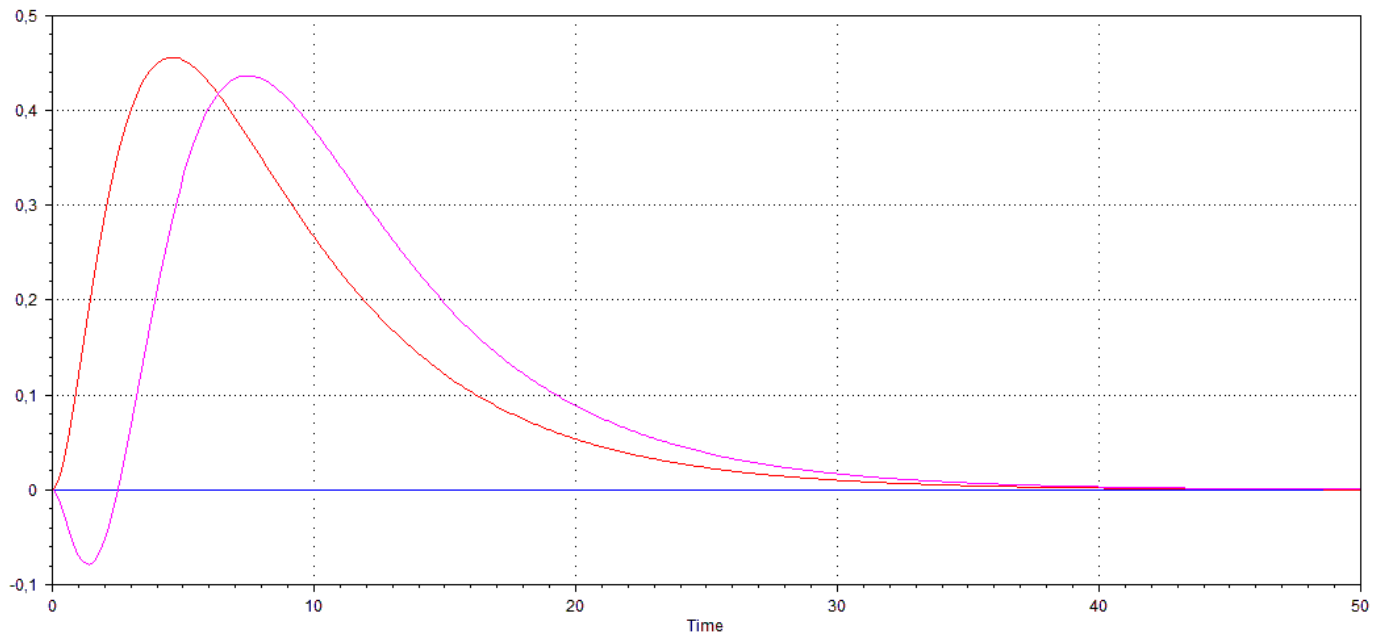
$$g1(s) = \frac{-s+0,6667}{s+0.6667}$$



CC>time(1,g,g\*g1)- Respuesta al escalón unitario

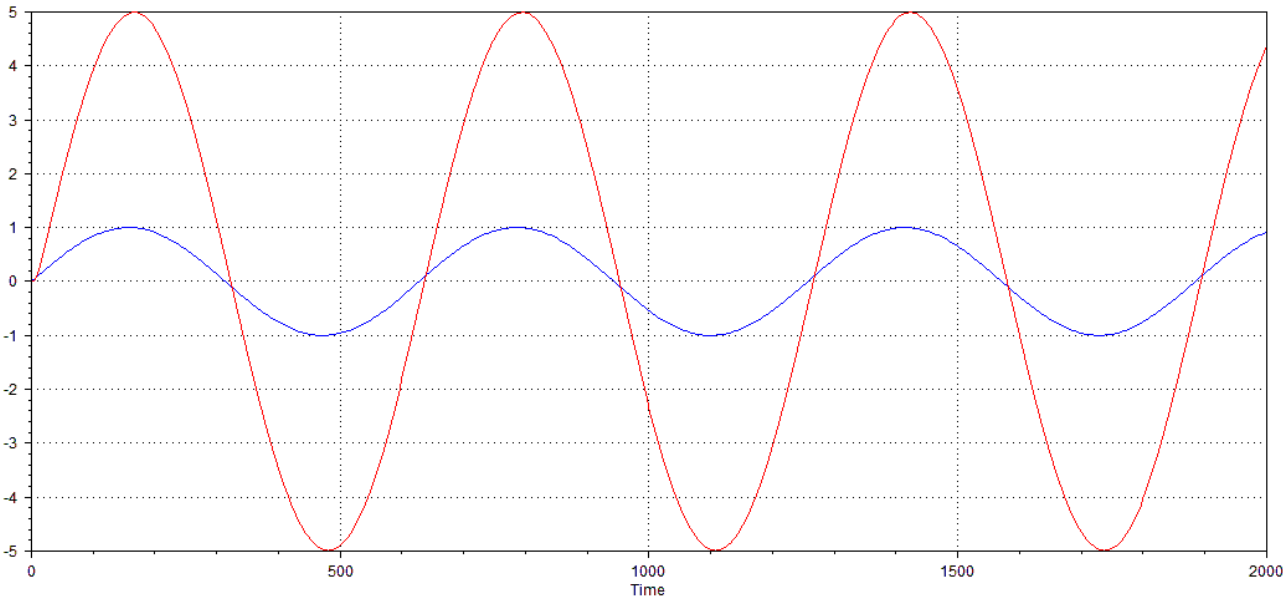


CC>time(1/s,g/s,g\*g1/s)- Respuesta a rampa unitaria

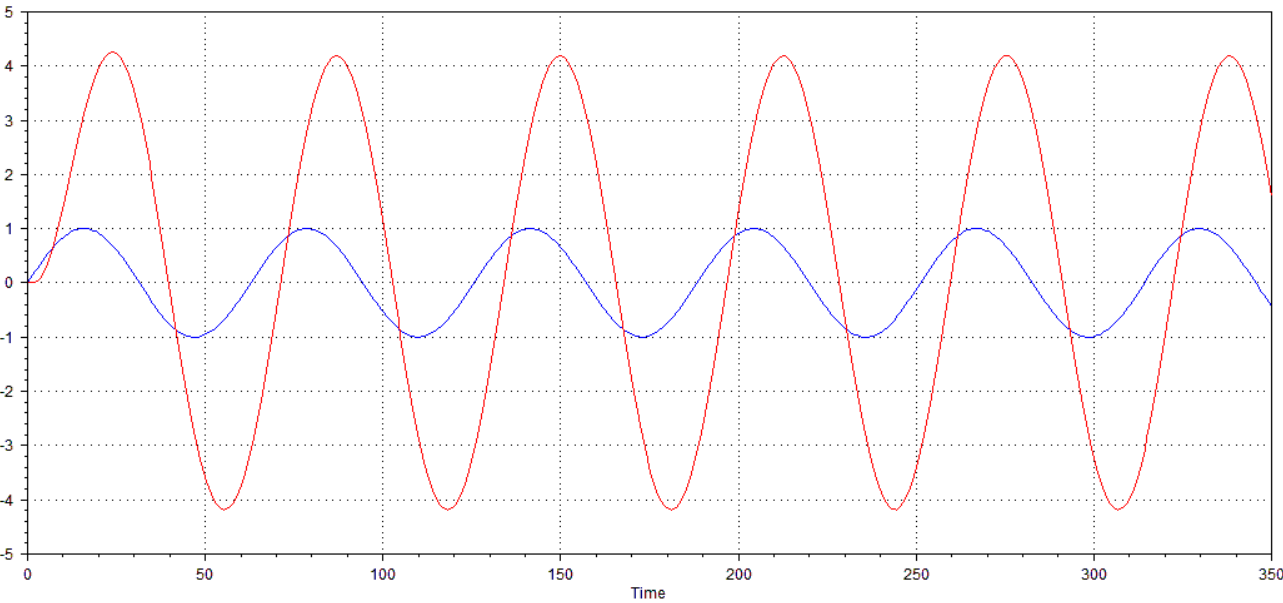


CC>time(1\*s,g\*s,g\*g1\*s)- Respuesta a impulso unitario

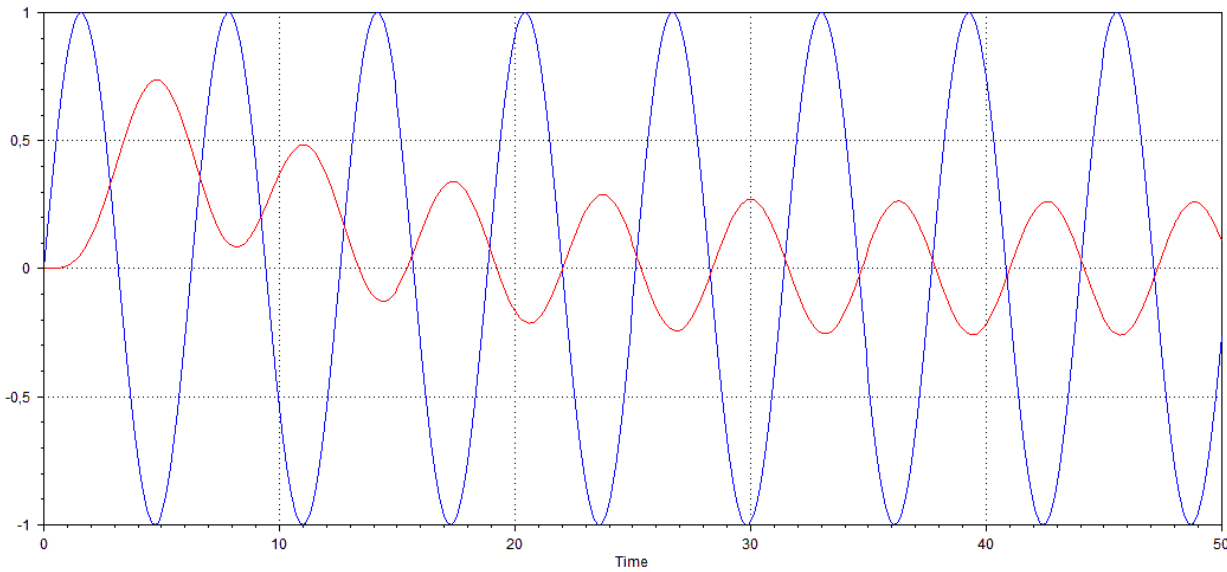




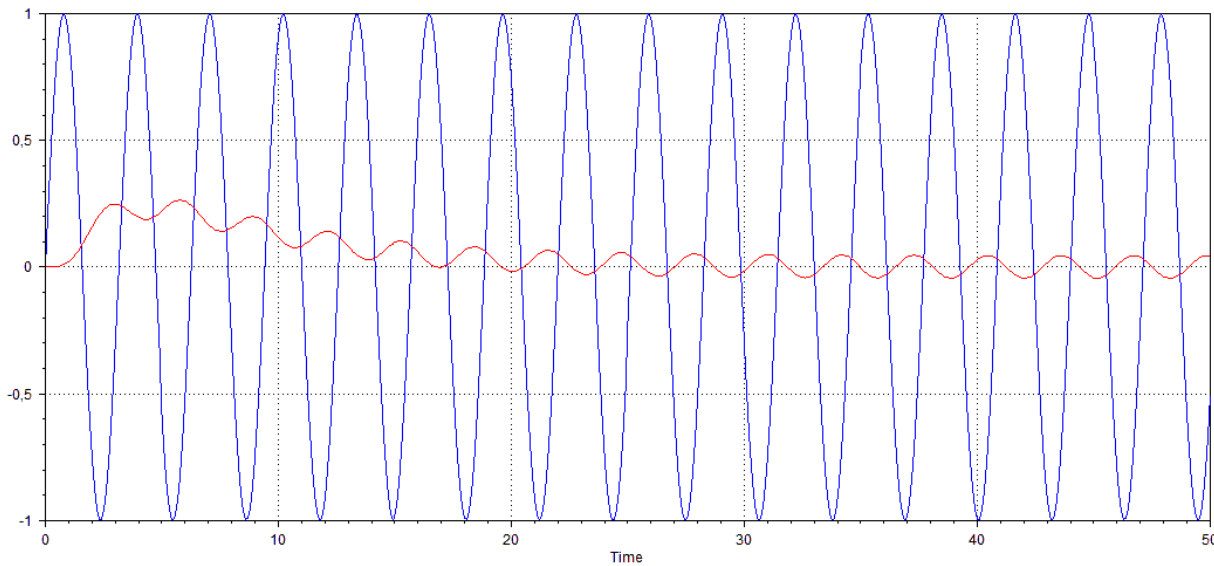
CC>w=0.01  
 CC>u=w/(s^2+w^2)  
 CC>time(u\*s,g\*u\*s)



CC>w=0.1  
 CC>u=w/(s^2+w^2)  
 CC>time(u\*s,g\*u\*s)

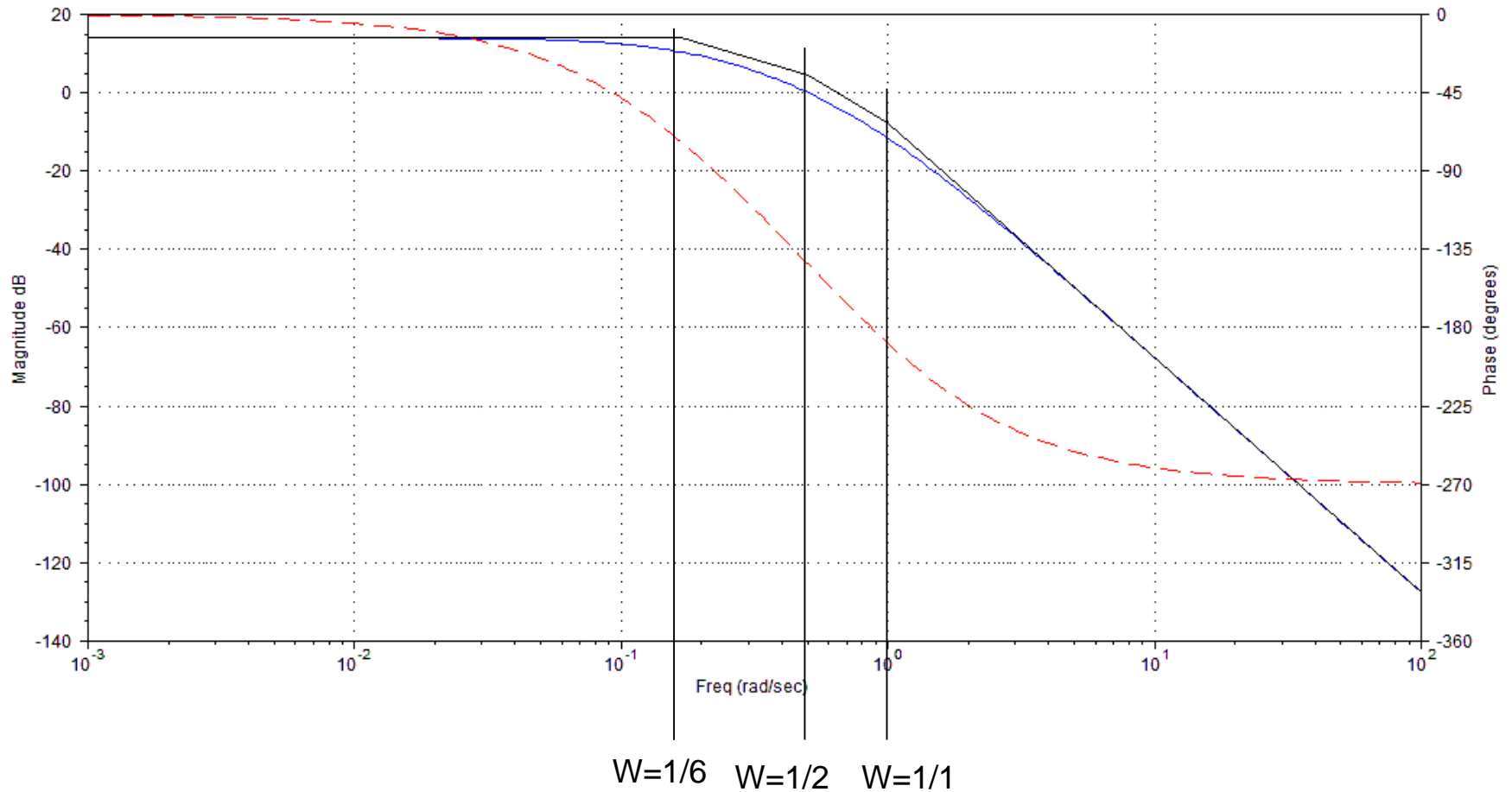


CC>w=1  
 CC>u=w/(s^2+w^2)  
 CC>time(u\*s,g\*u\*s)



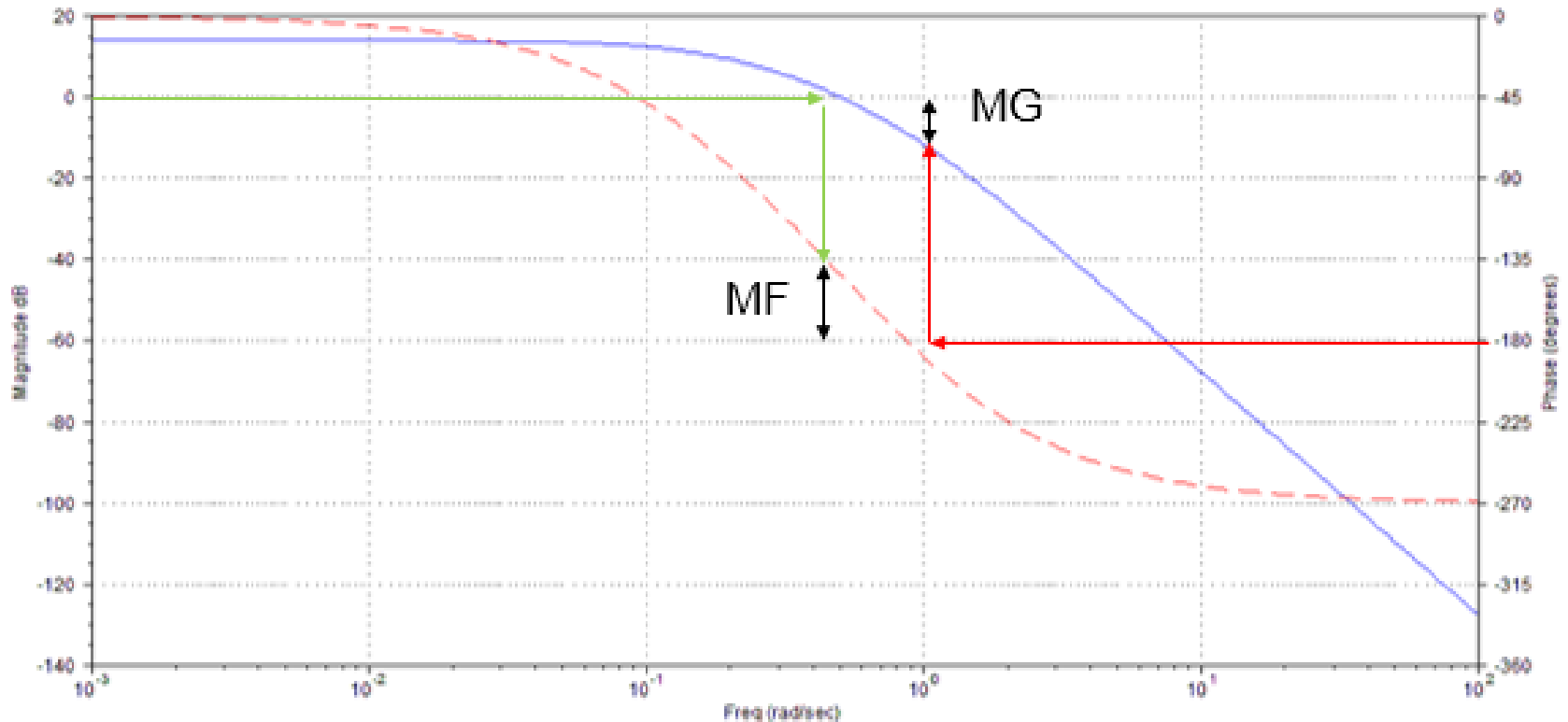
CC>w=2  
 CC>u=w/(s^2+w^2)  
 CC>time(u\*s,g\*u\*s)

# Diagrama de Bode



$$CC>g=5/((6*s+1)*(2*s+1)*(s+1))$$

CC>bode(g)



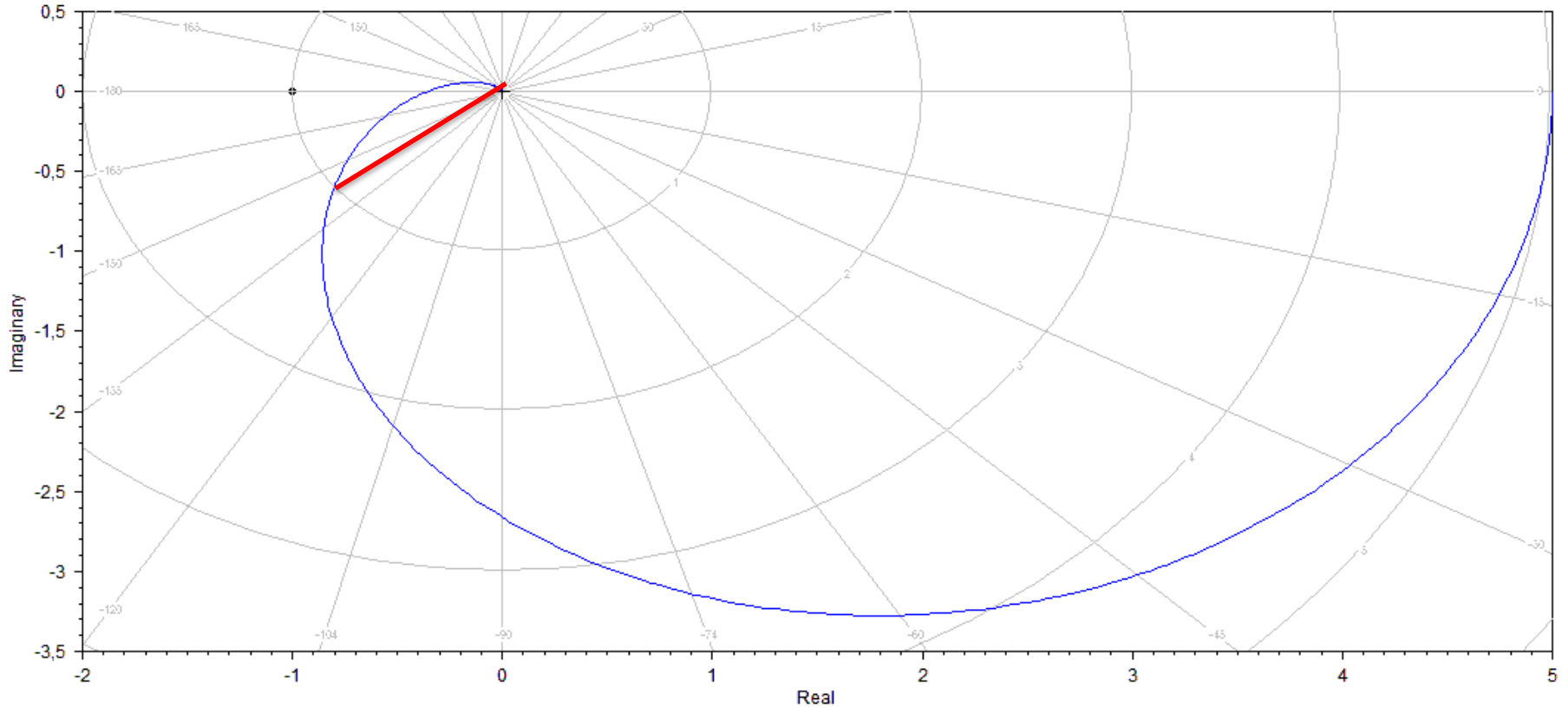
CC>margin(g)

At  $w= 0,5$  r/s, **Phase margin= 36,87 deg**, Delay margin= 1,29 sec

At  $w= 0,562$  r/s,  $M_p= 1,7$  (4,60 dB)

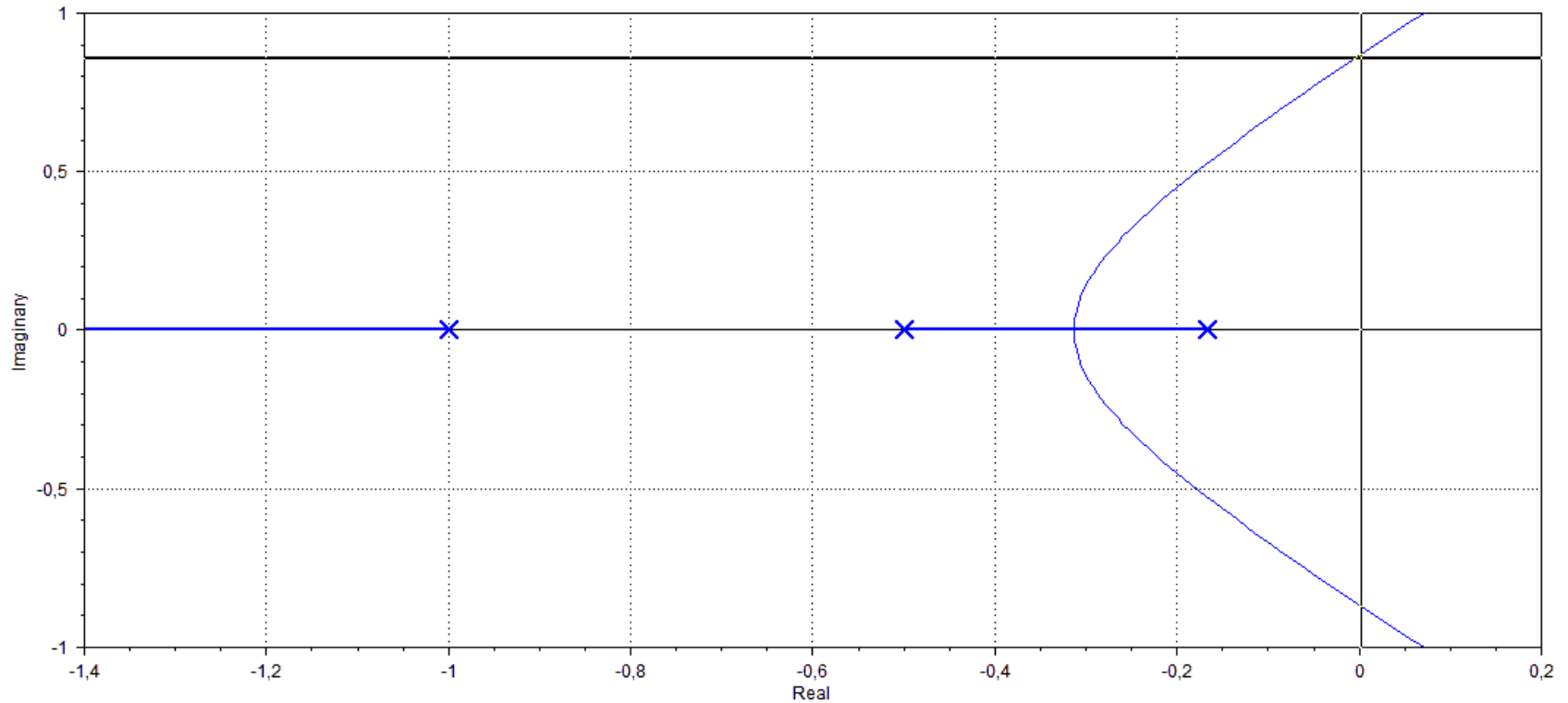
At  $w= 0,866$  r/s, **Gain margin= 2,8 ( 8,94 dB)**

# Diagrama de Nyquist



CC>g=5/((6\*s+1)\*(2\*s+1)\*(s+1))  
CC>nyquist(g)

# Lugar de Raices



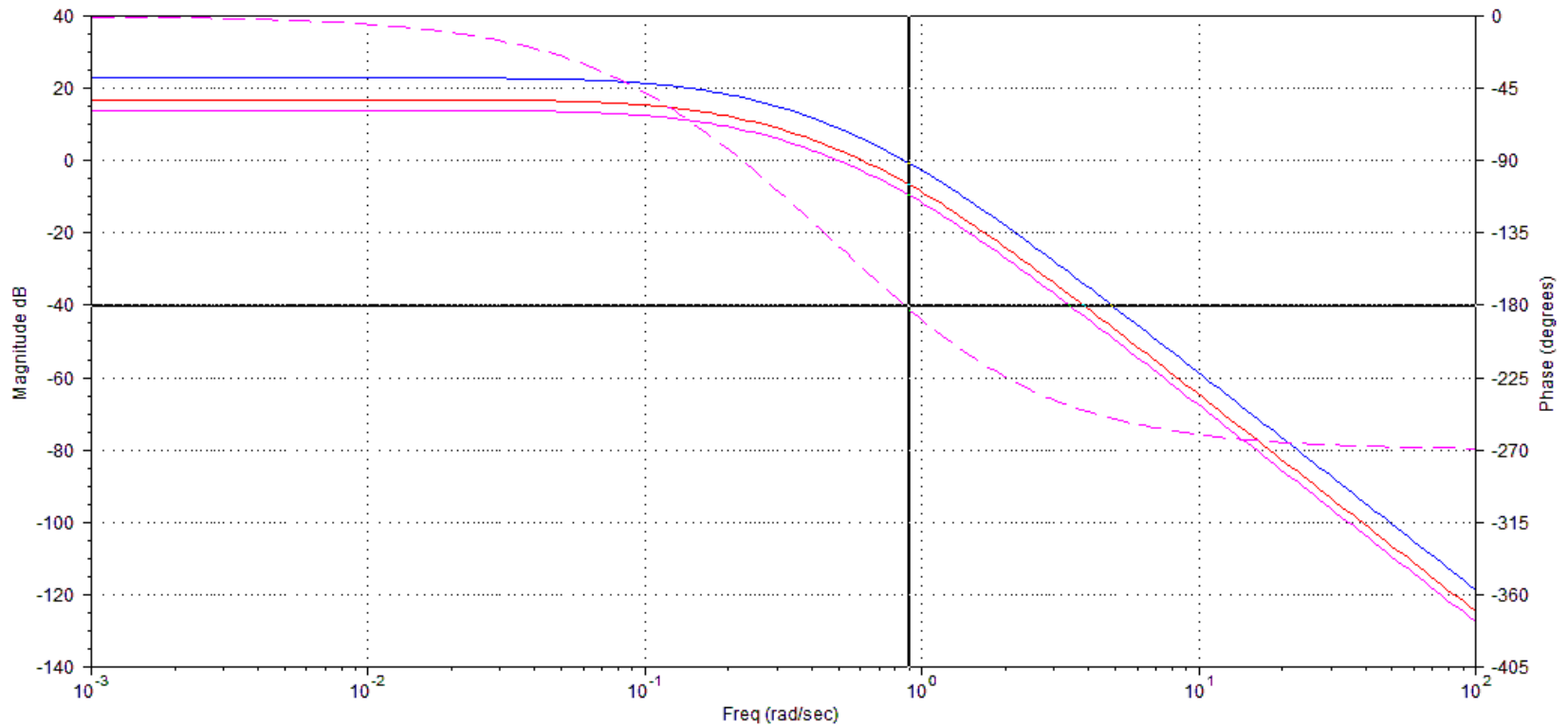
$s = 0,002211 + 0,8568j$  (Mag= 0,8568, Zeta= -0,002581)  
gain= 2,744 -0,04782j (Mag= 2,745, Phase= -0,9984 deg)

CC>g=5/((6\*s+1)\*(2\*s+1)\*(s+1))  
CC>rl(g)

# Con controlador solo P

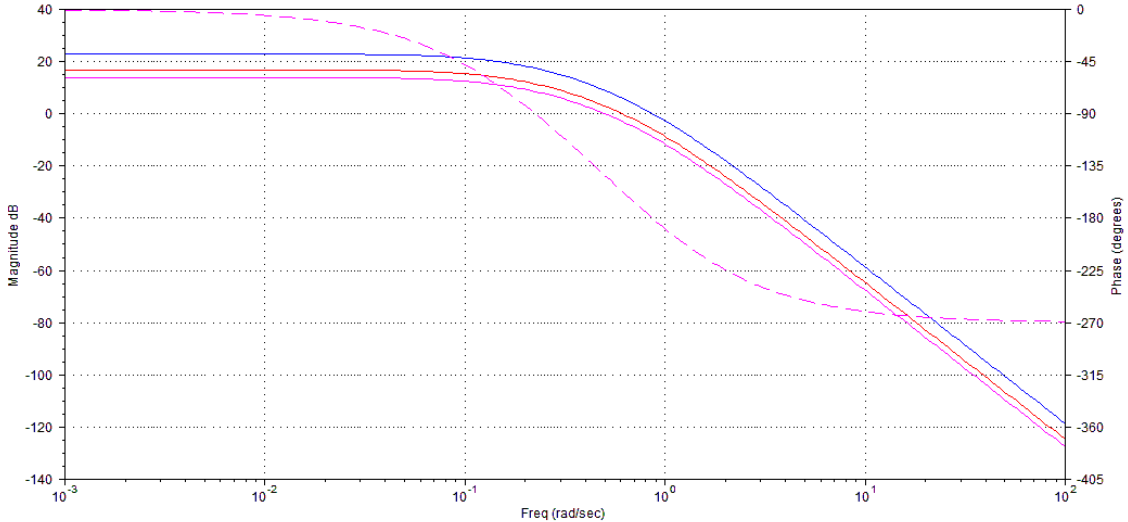
$K_c=1,4$

$K_{cu}=2,8$

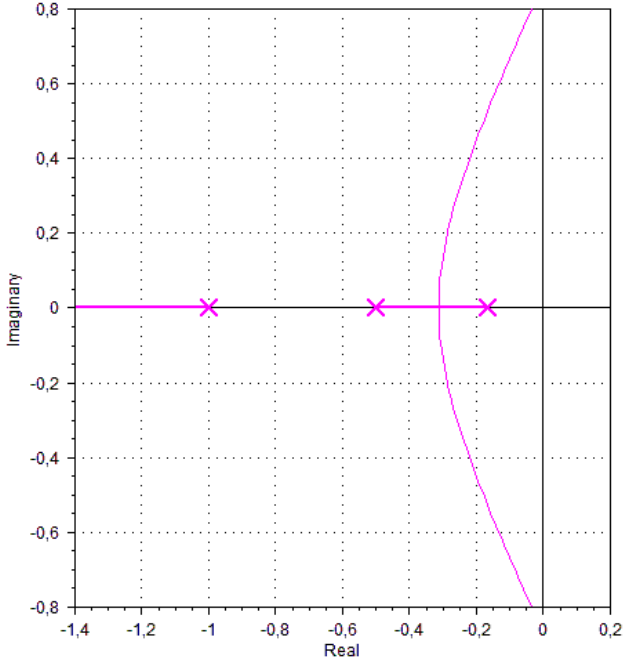
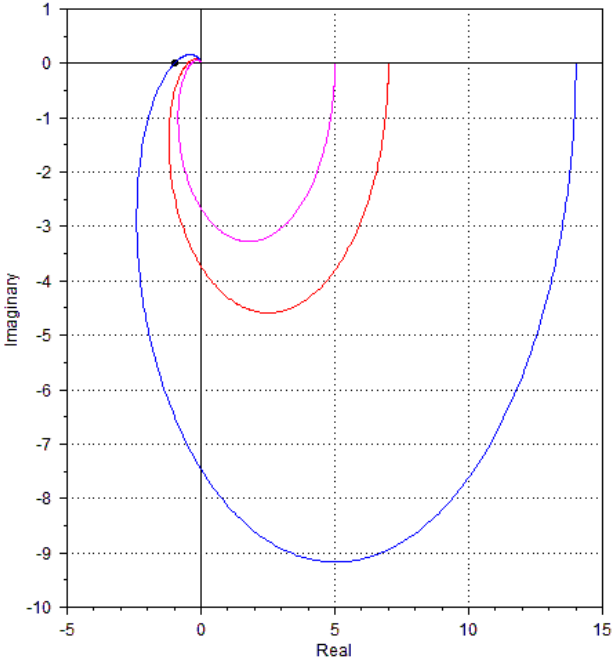


Freq = 0,9027 r/s, Mag = 0,009738 (-40,23 dB), Phase = -180,5 deg

# Con controlador solo P



$K_c=1,4$   
 $K_{cu}=2,8$

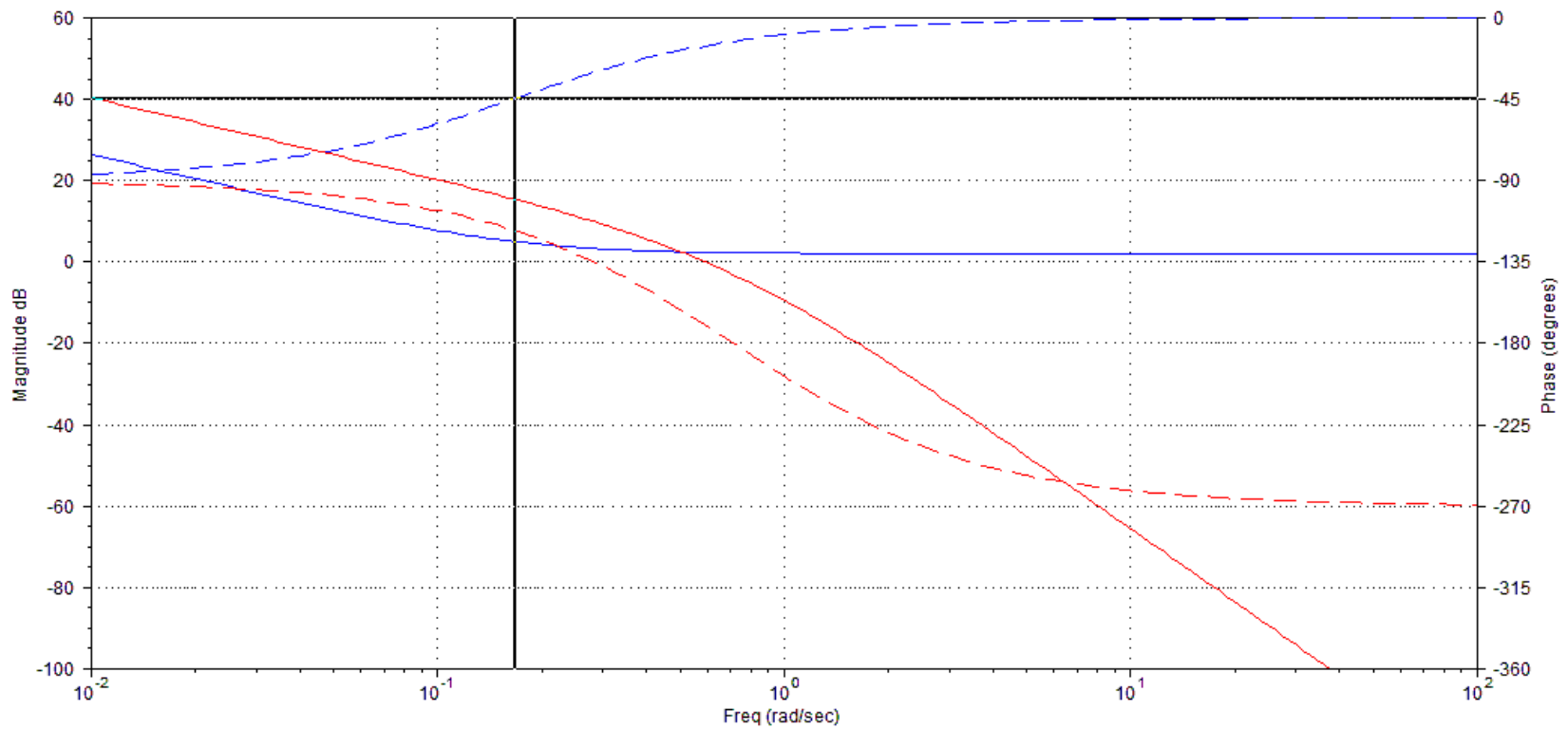




## Con controlador solo P+I

CC>gpi=1.27\*(1+(1/(6.09\*s)))

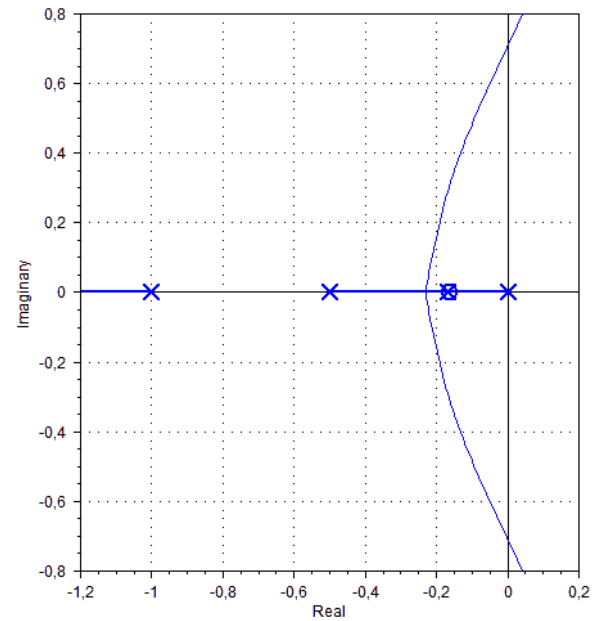
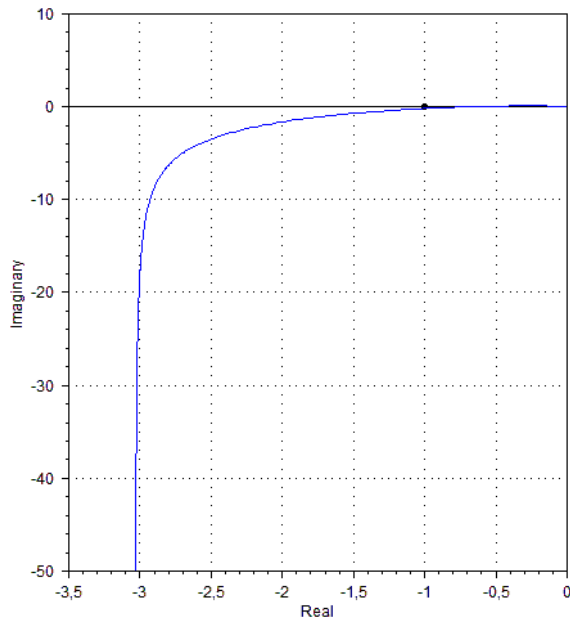
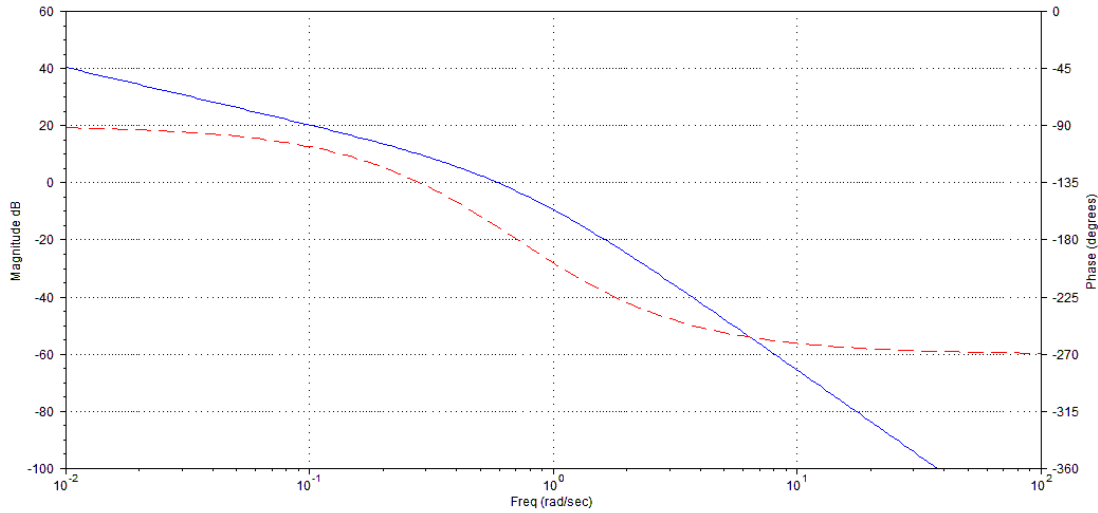
CC>bode(gpi,g\*gpi)



Freq = 0,1673 r/s, Mag = 100,5 (40,05 dB), Phase = -44,9 deg

# Con controlador solo P+I

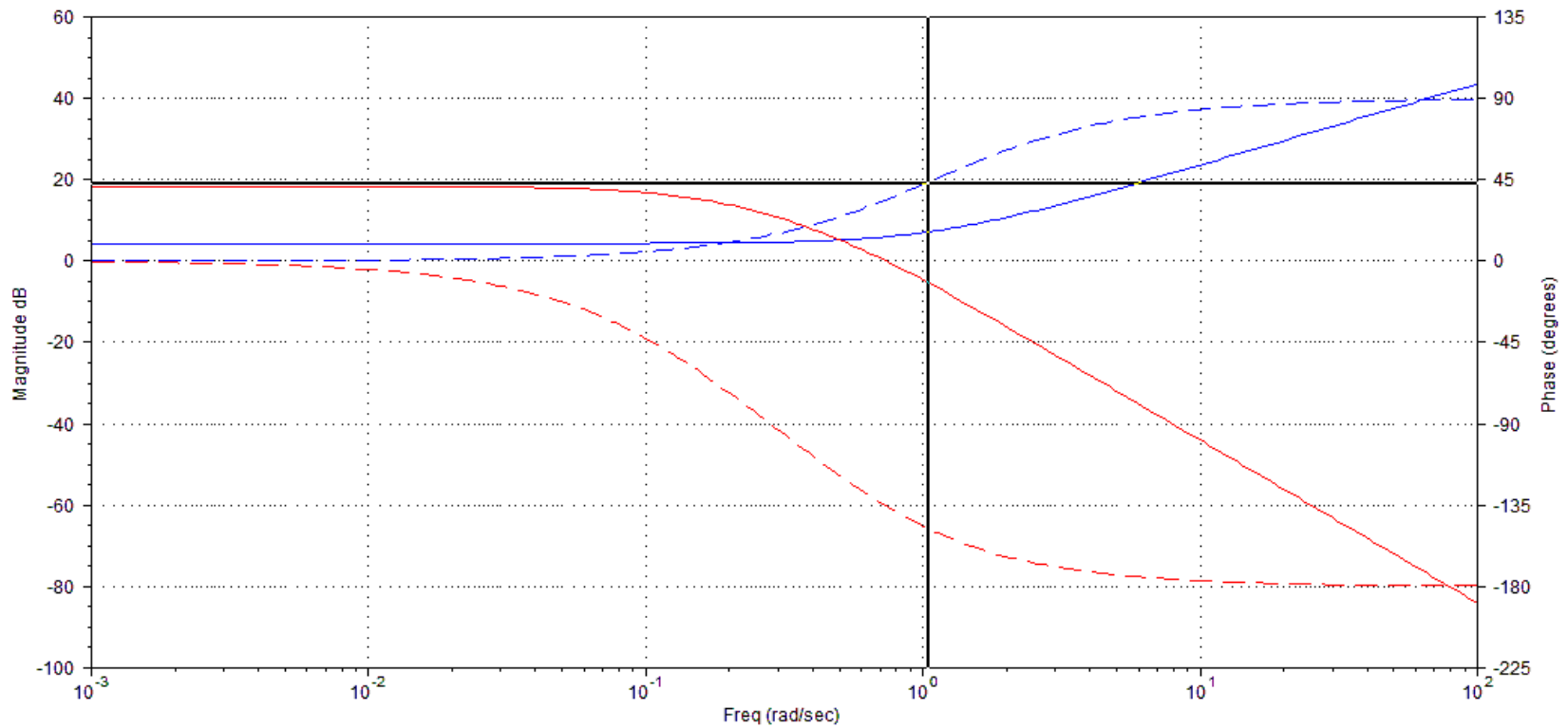
$$CC > g_{pi} = 1.27 * (1 + (1 / (6.09 * s)))$$



## Con controlador solo P+D

CC>gpd=1.65\*(1+(0.91\*s))

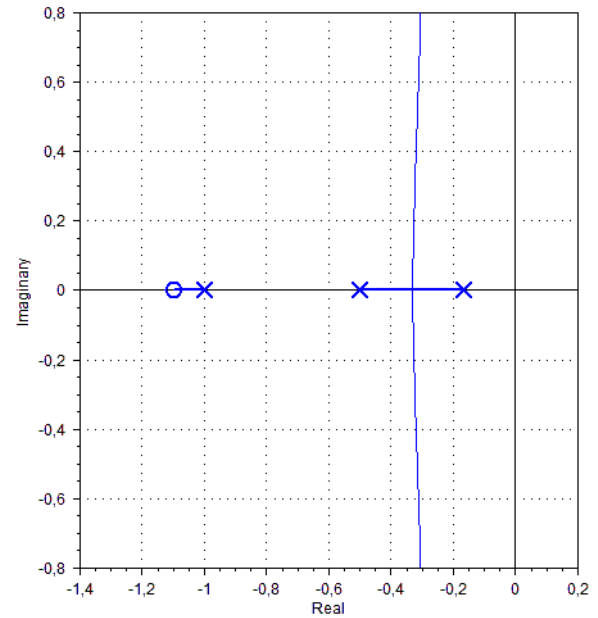
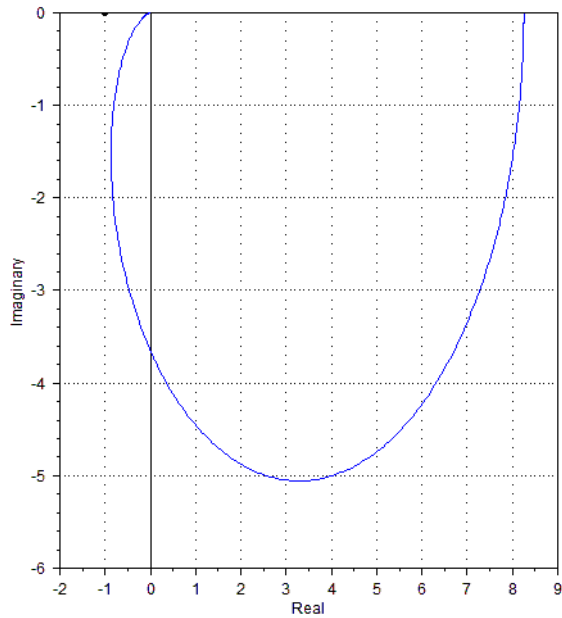
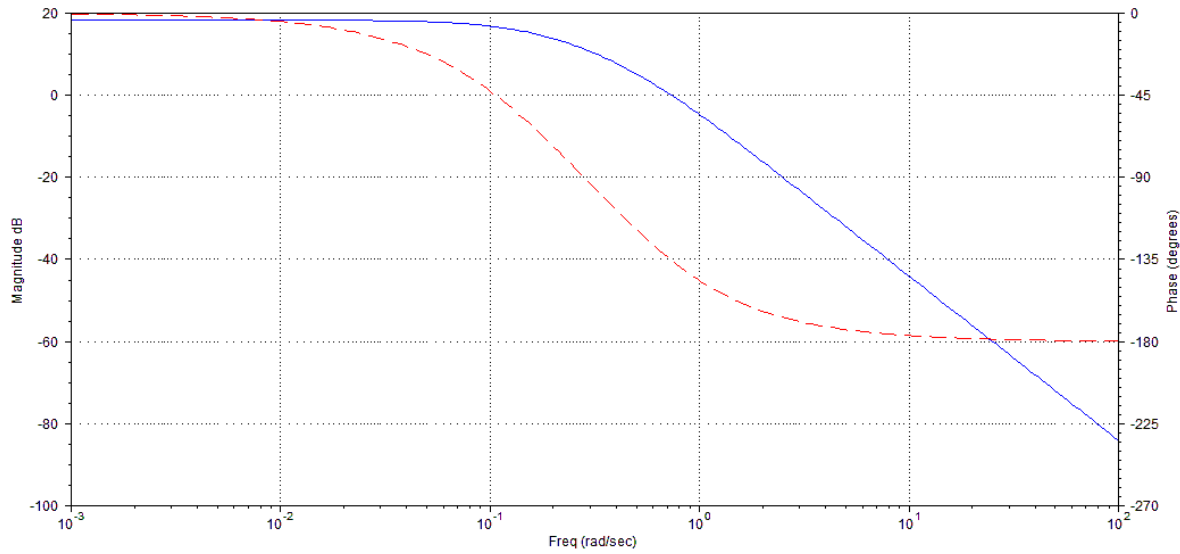
CC>bode(gpd,g\*gpd)



Freq = 1,049 r/s, Mag = 8,896 (18,98 dB), Phase = 42,71 deg

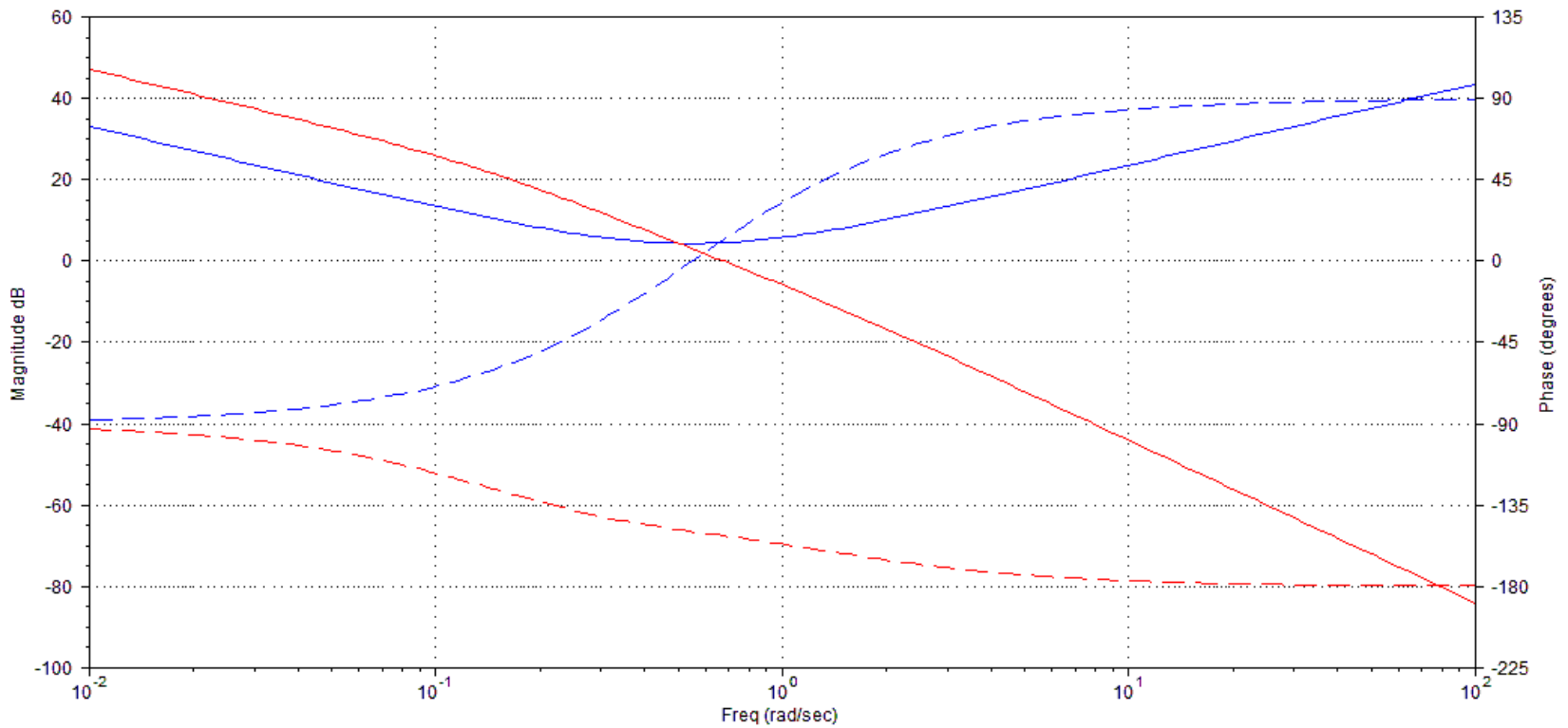
# Con controlador solo P+D

$$CC > gpd = 1.65 * (1 + (0.91 * s))$$



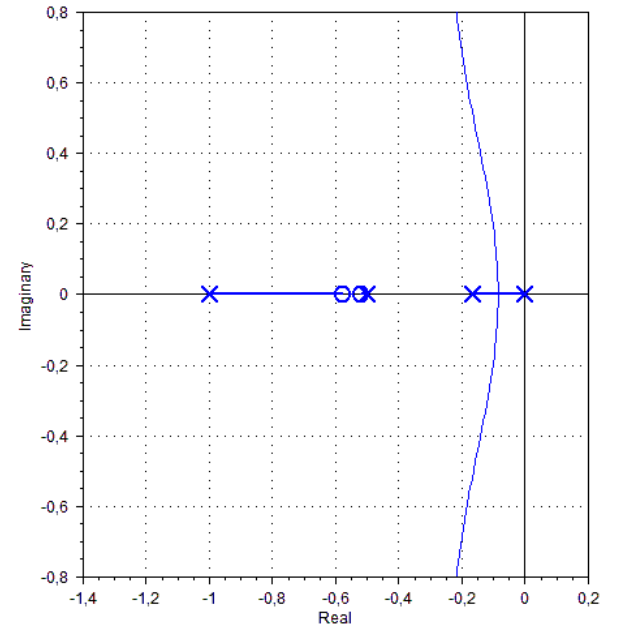
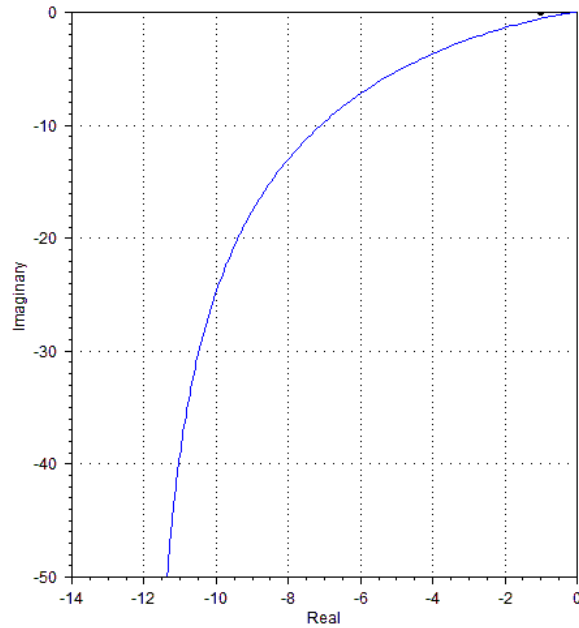
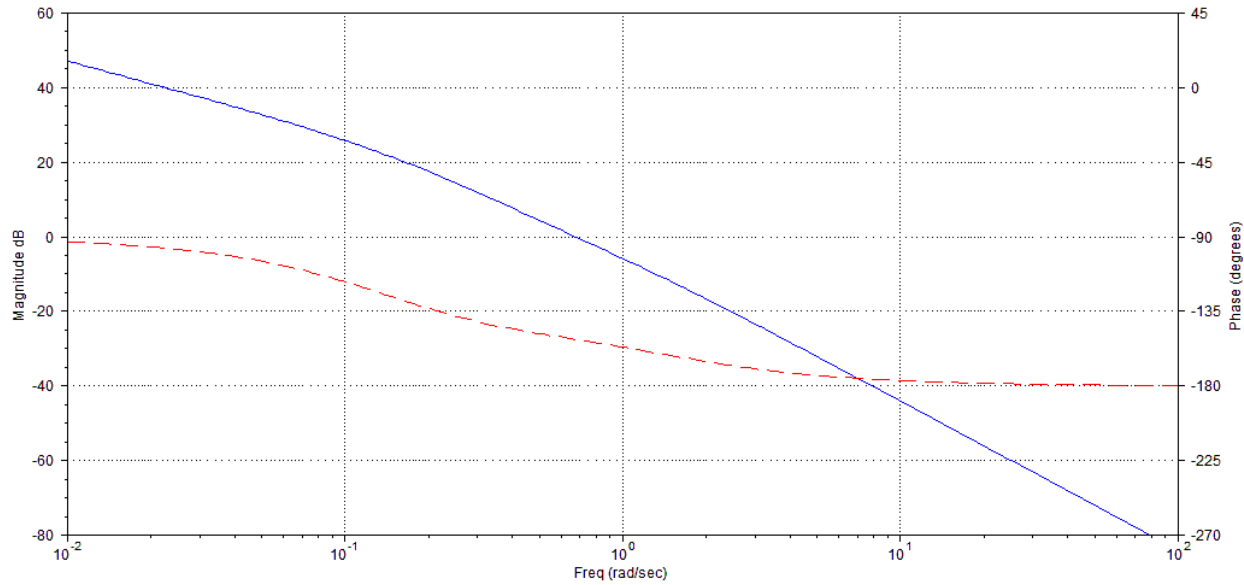
# Con controlador solo P+I+D

```
CC>gpid=1.65*(1+(1/(3.65*s)))+(0.91*s))  
CC>bode(gpid,g*gpid)
```



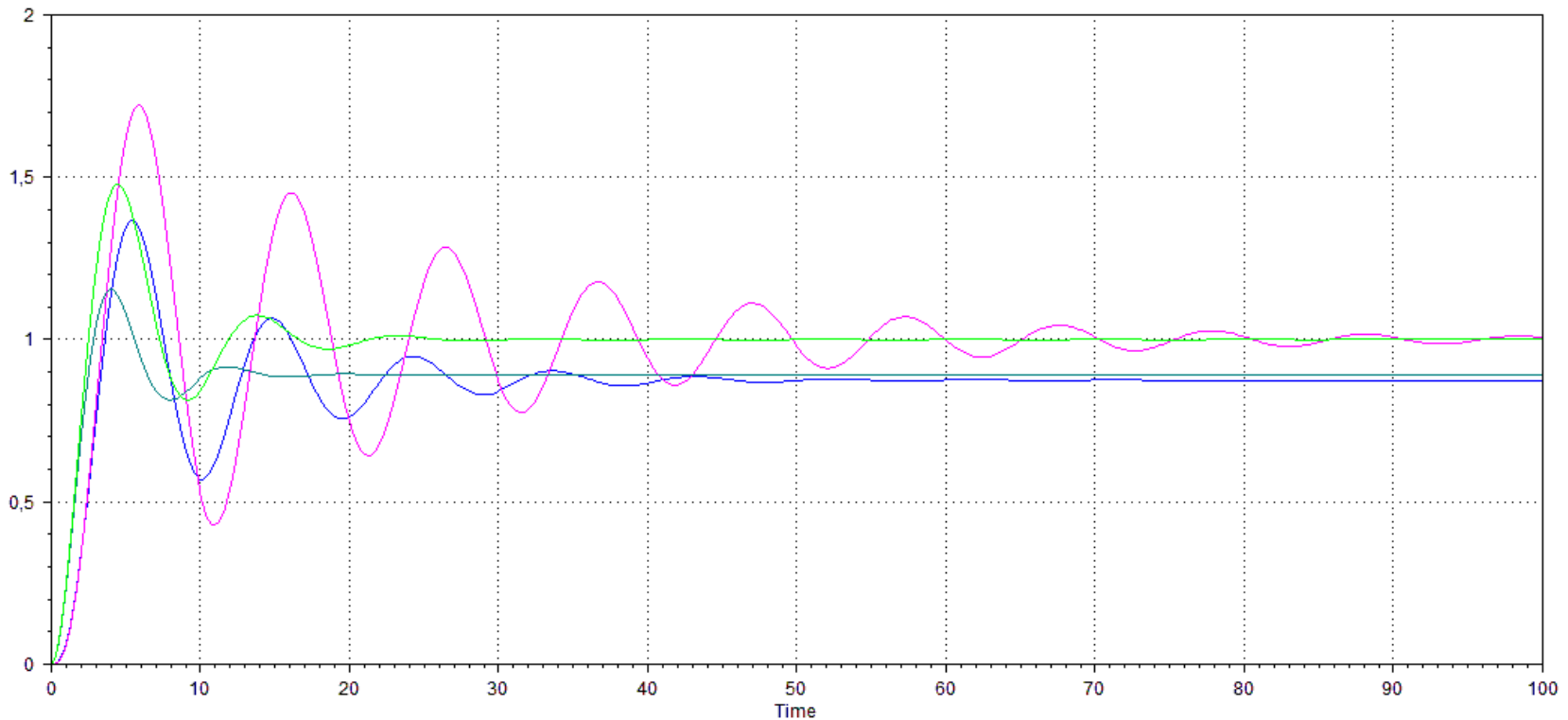
# Con controlador solo P+I+D

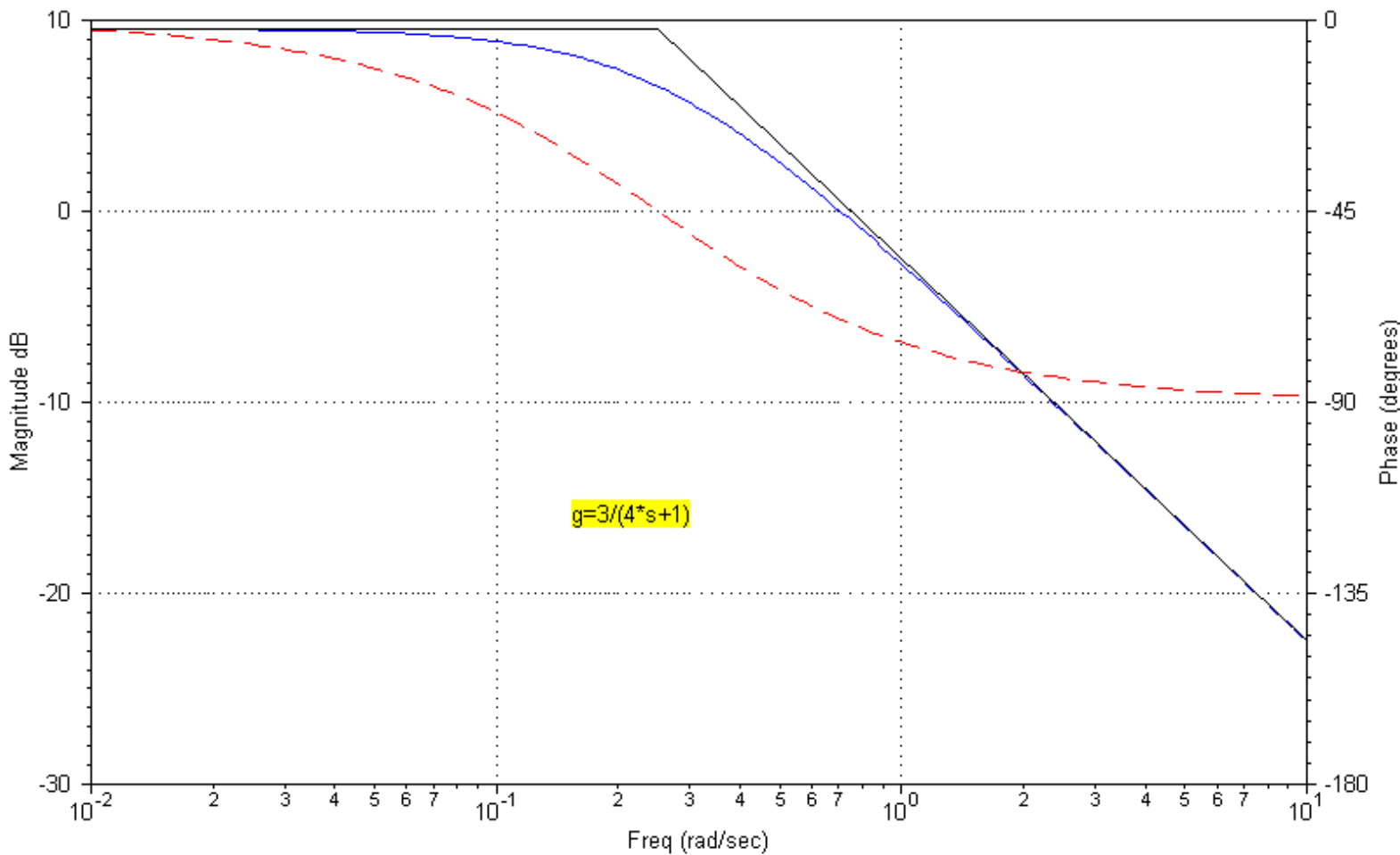
$$CC > \text{pid} = 1.65 * (1 + (1 / (3.65 * s)) + (0.91 * s))$$



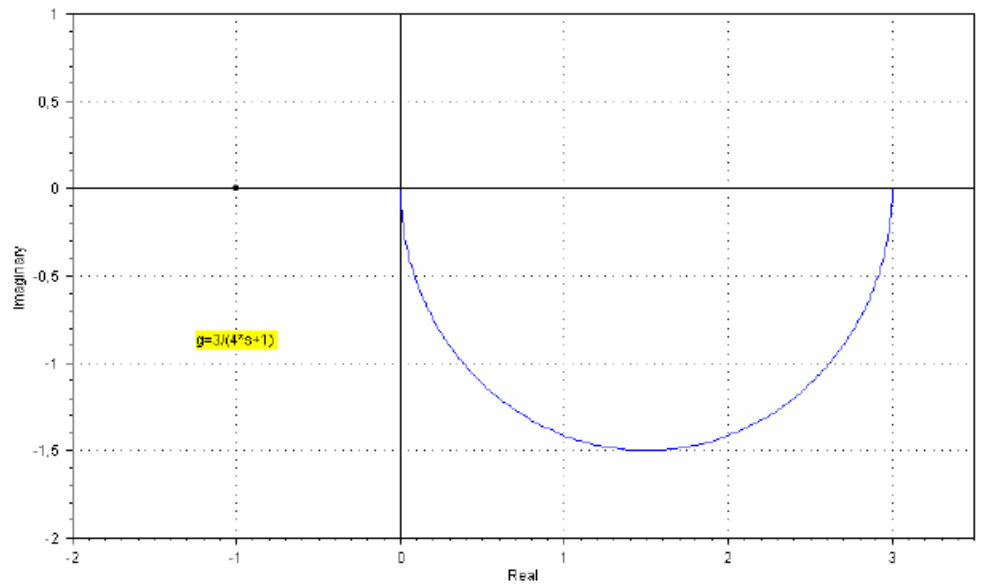
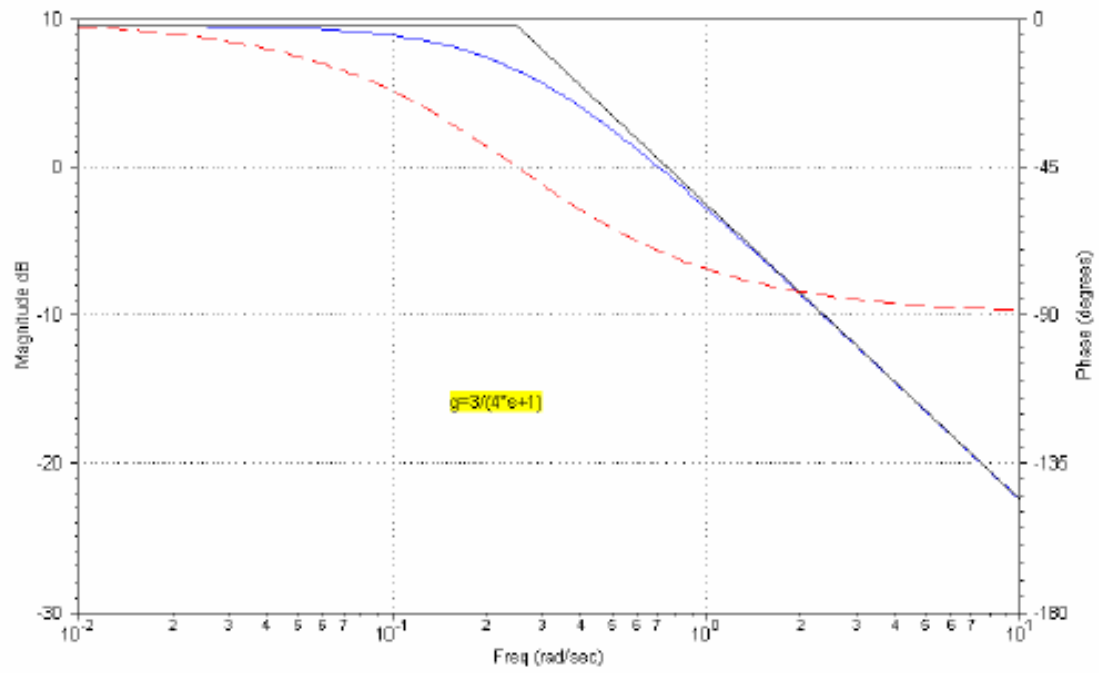
# Respuestas temporales con controlador P, PI, PD y PID

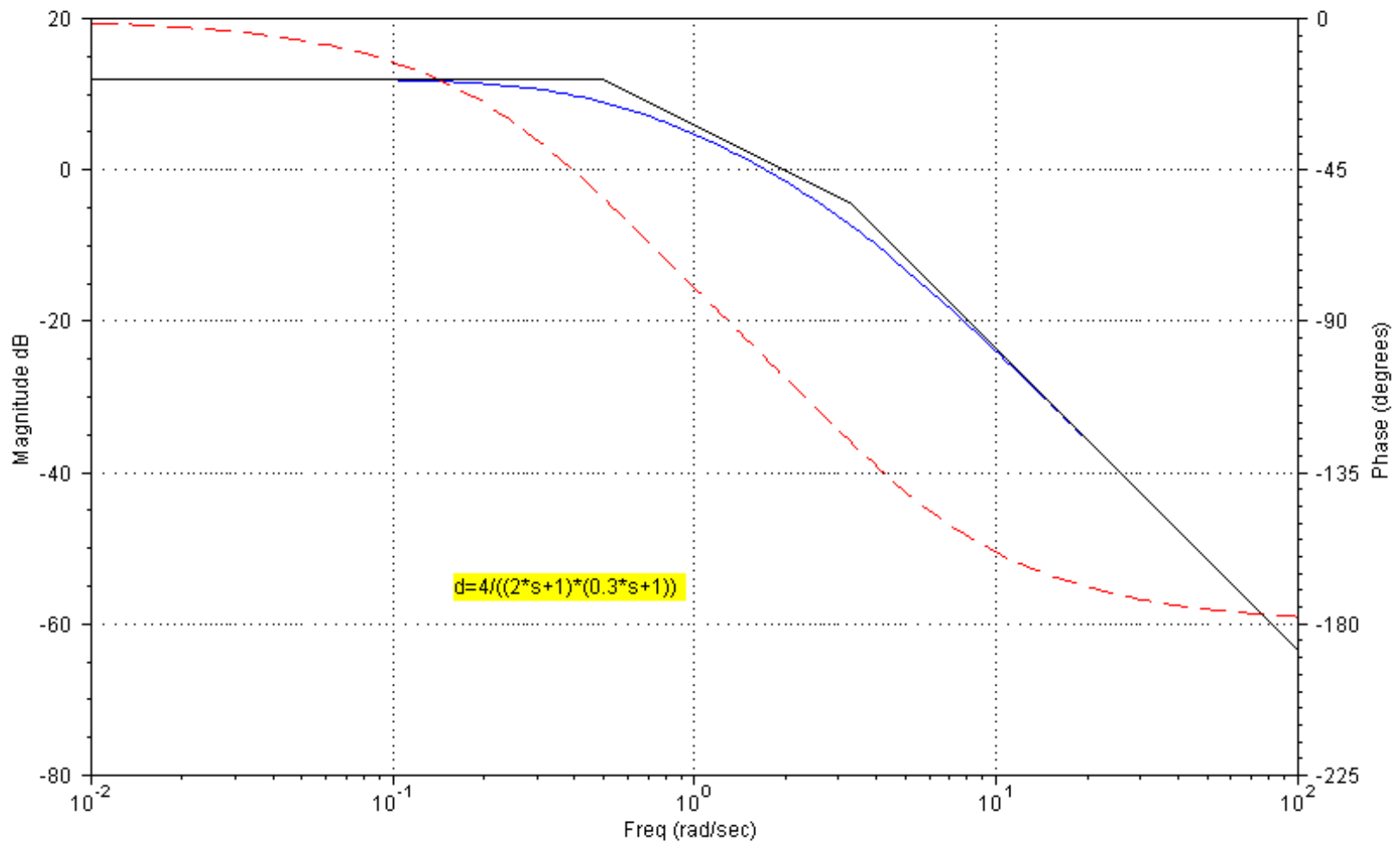
```
CC>h=1  
CC>cl=g|h  
CC>cl1=(g*1.4)|h  
CC>cl2=(g*gpi)|h  
CC>cl3=(g*gpd)|h  
CC>cl4=(g*gpid)|h  
CC>time(cl1,cl2,cl2,cl3,cl4)
```

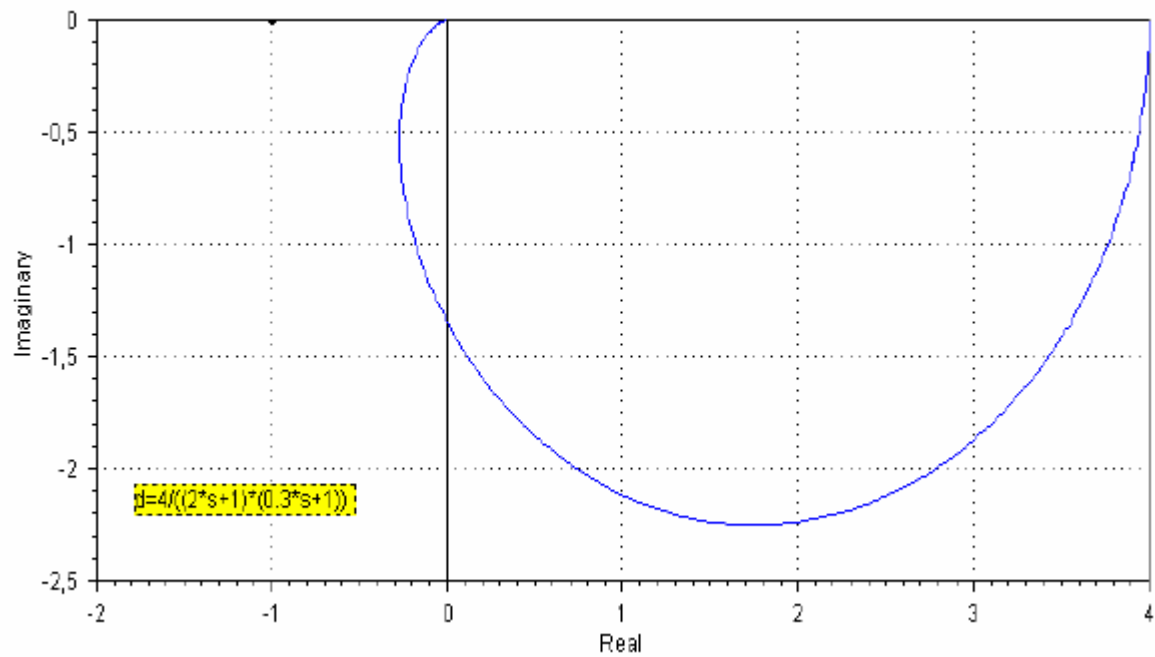
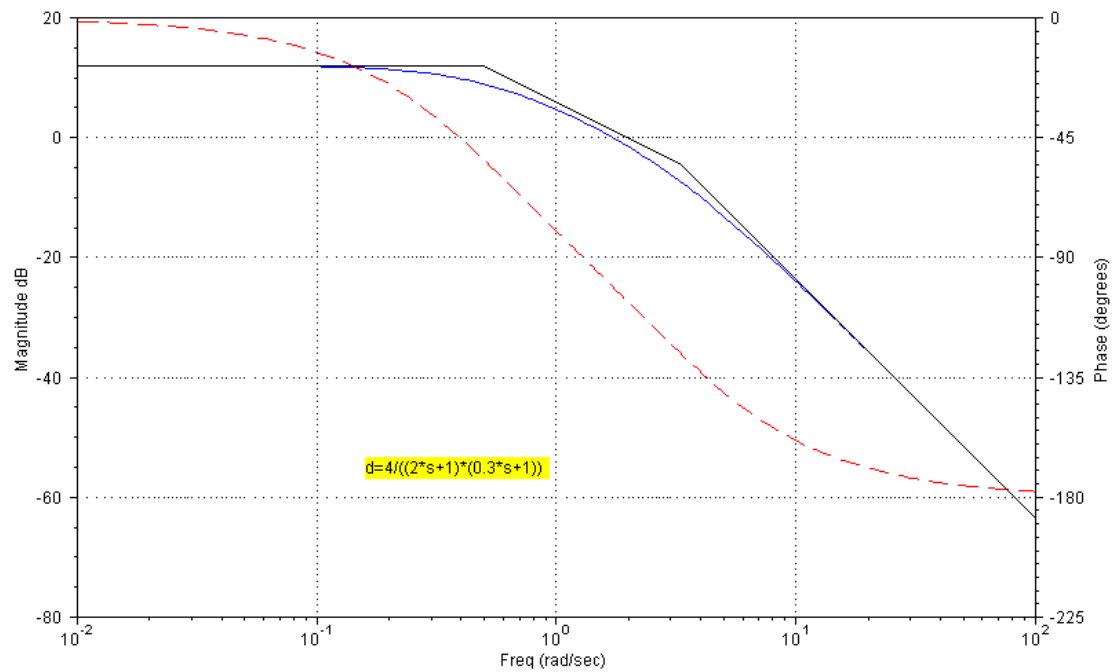


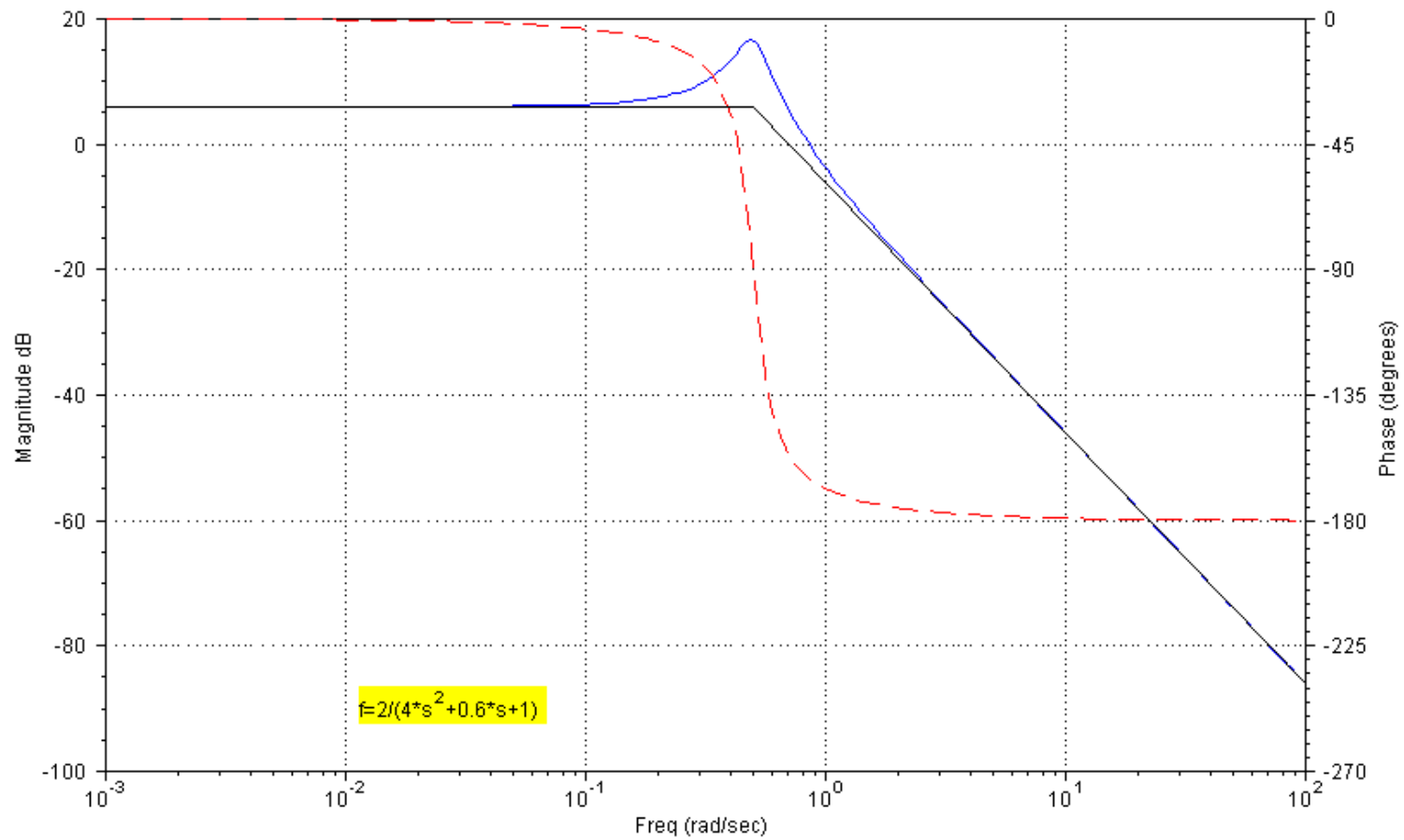


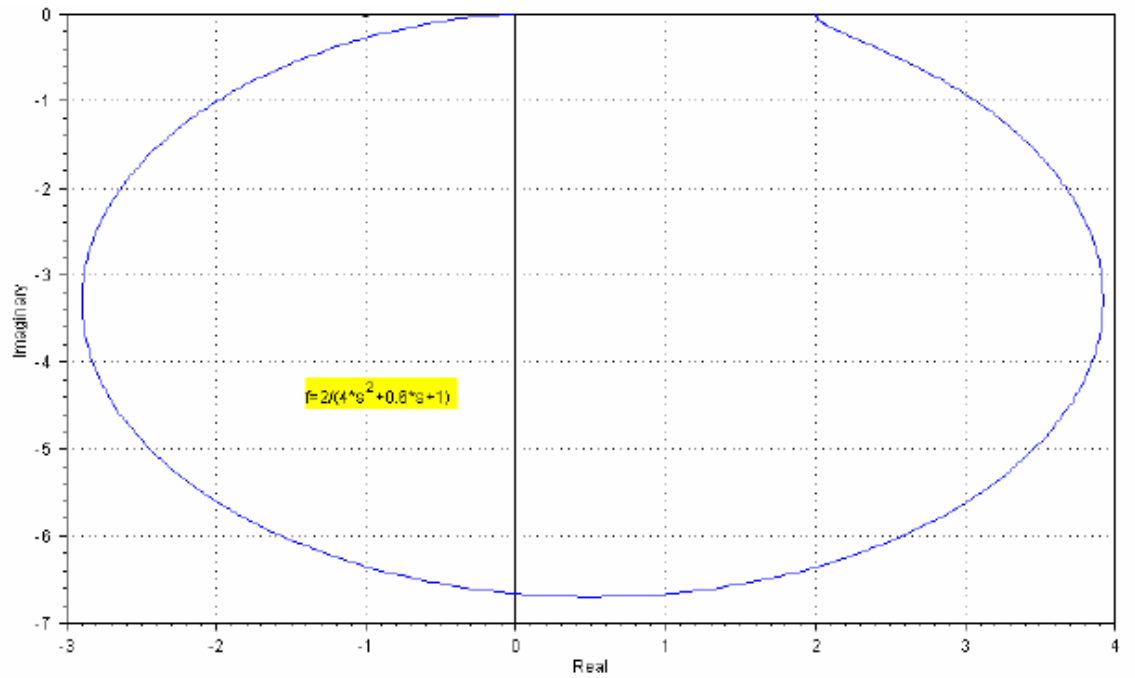
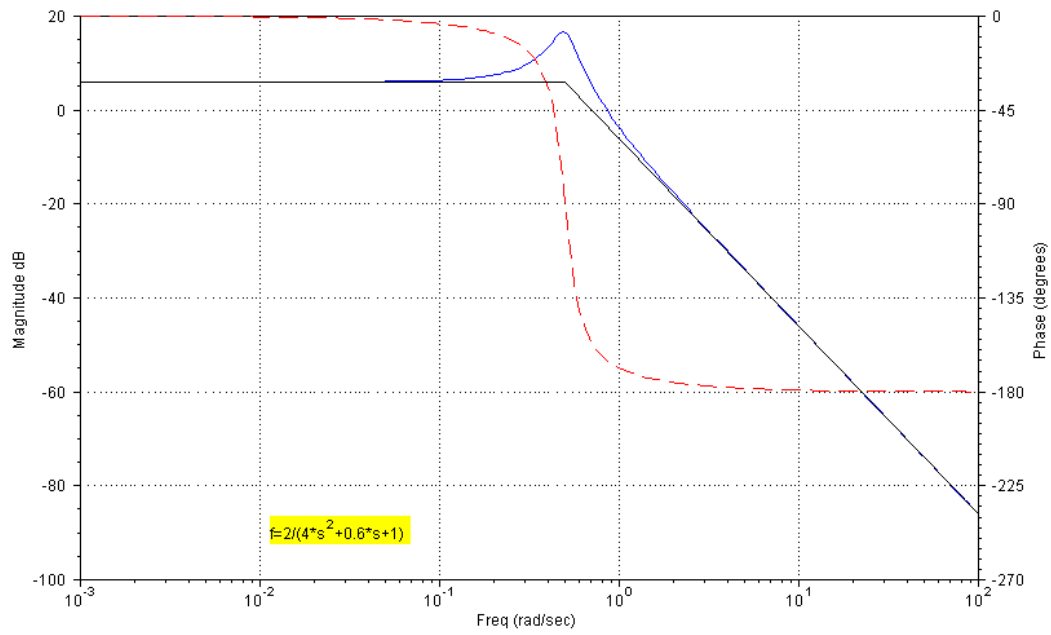


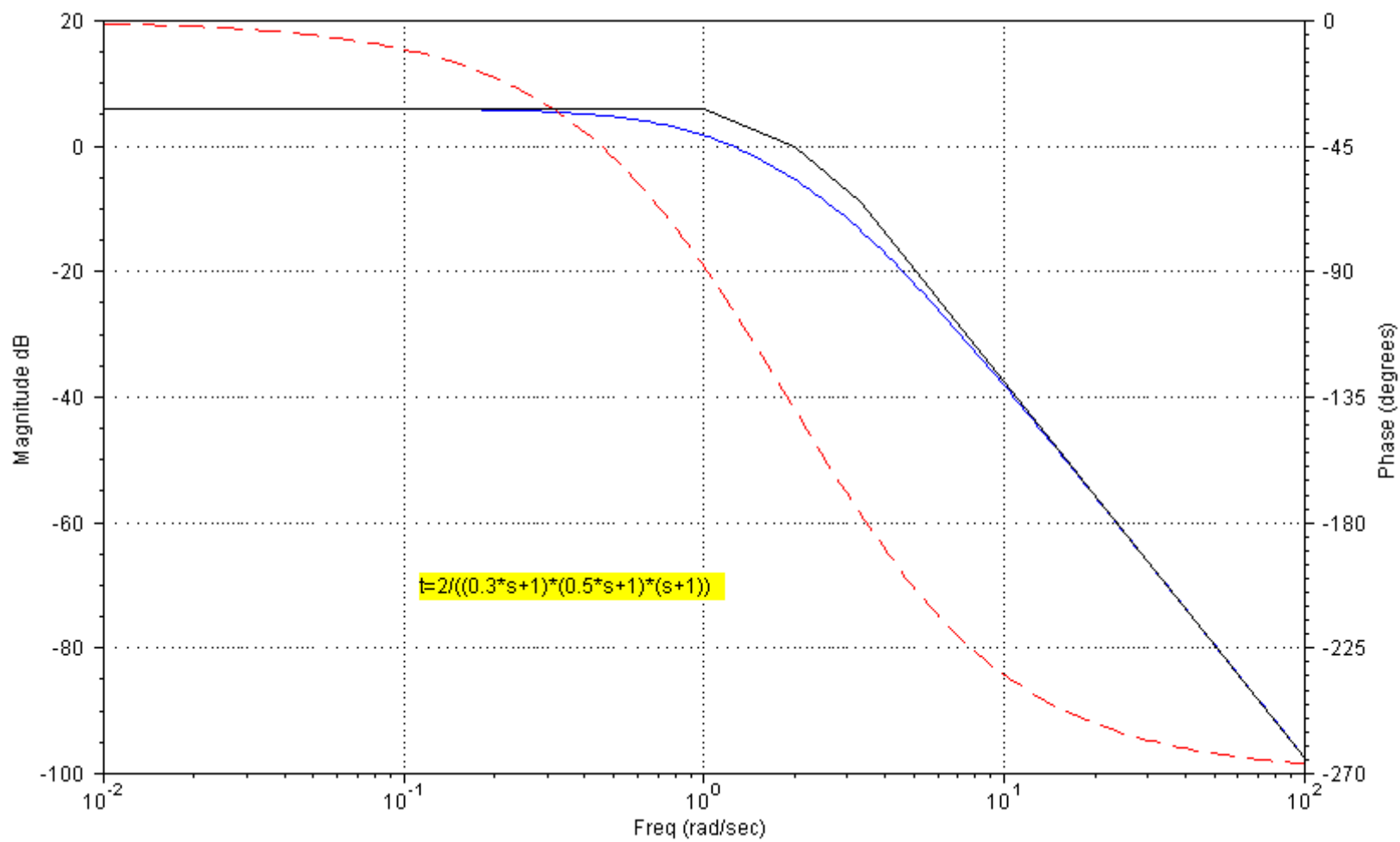


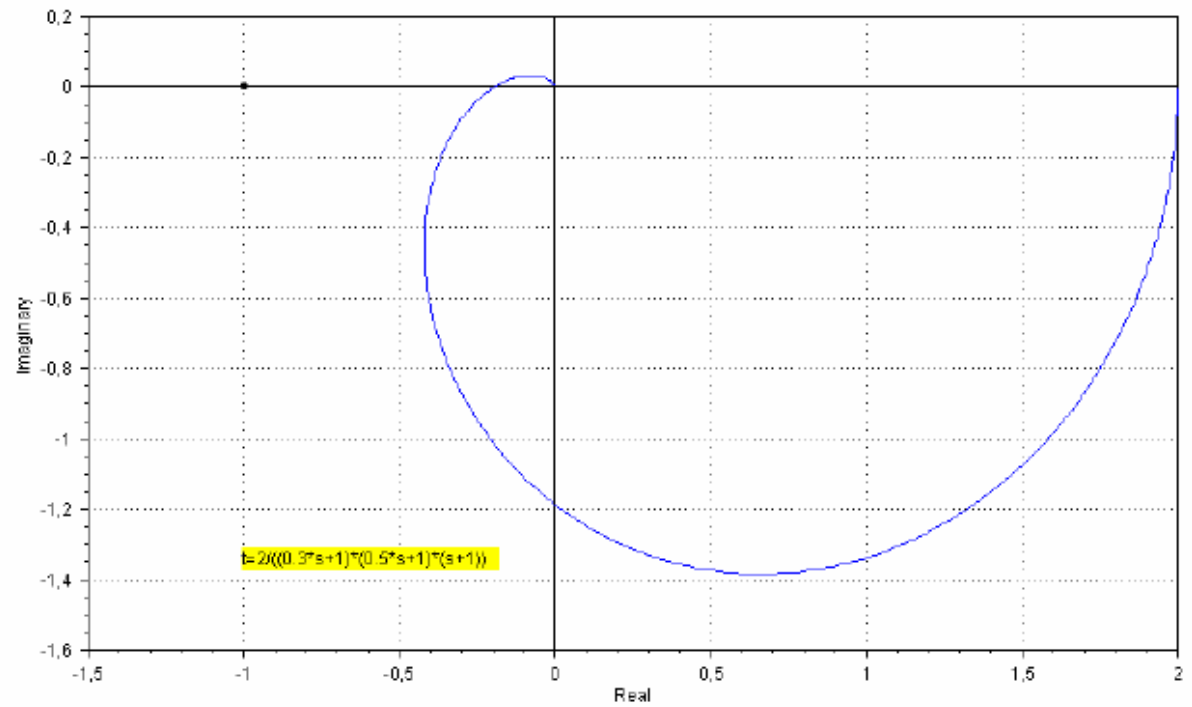
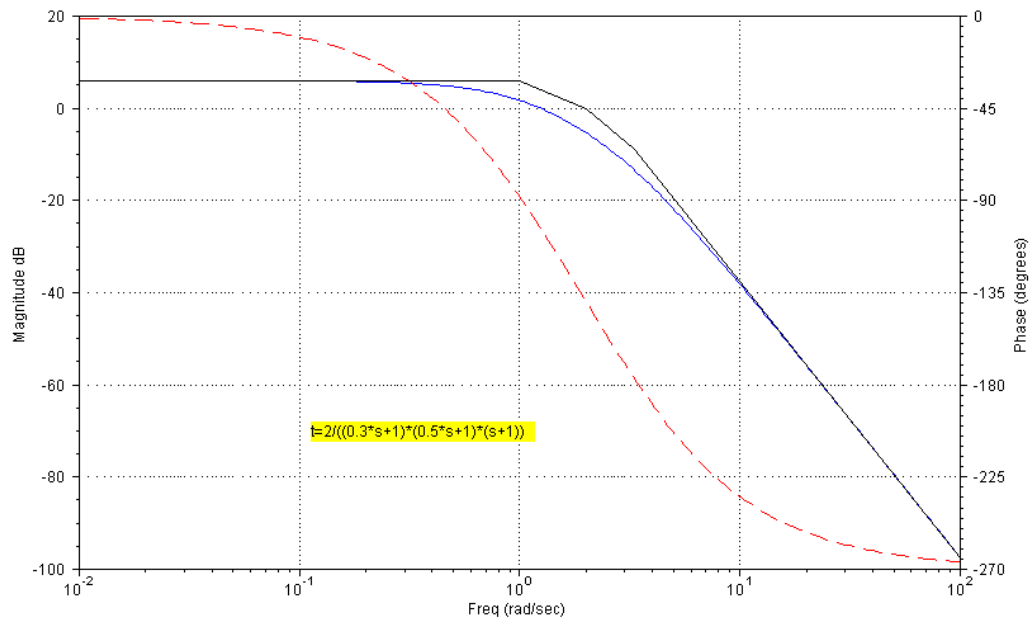


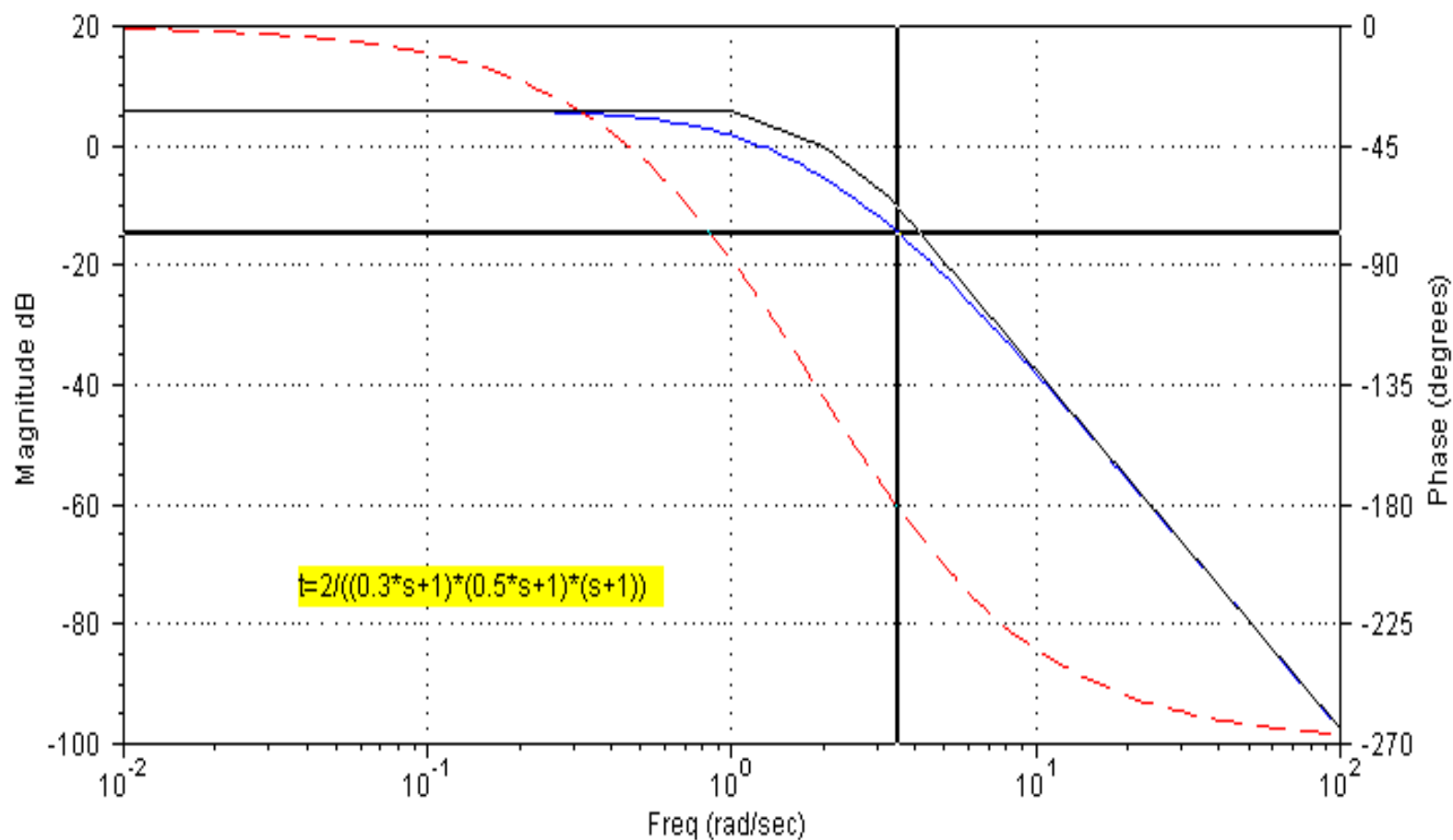








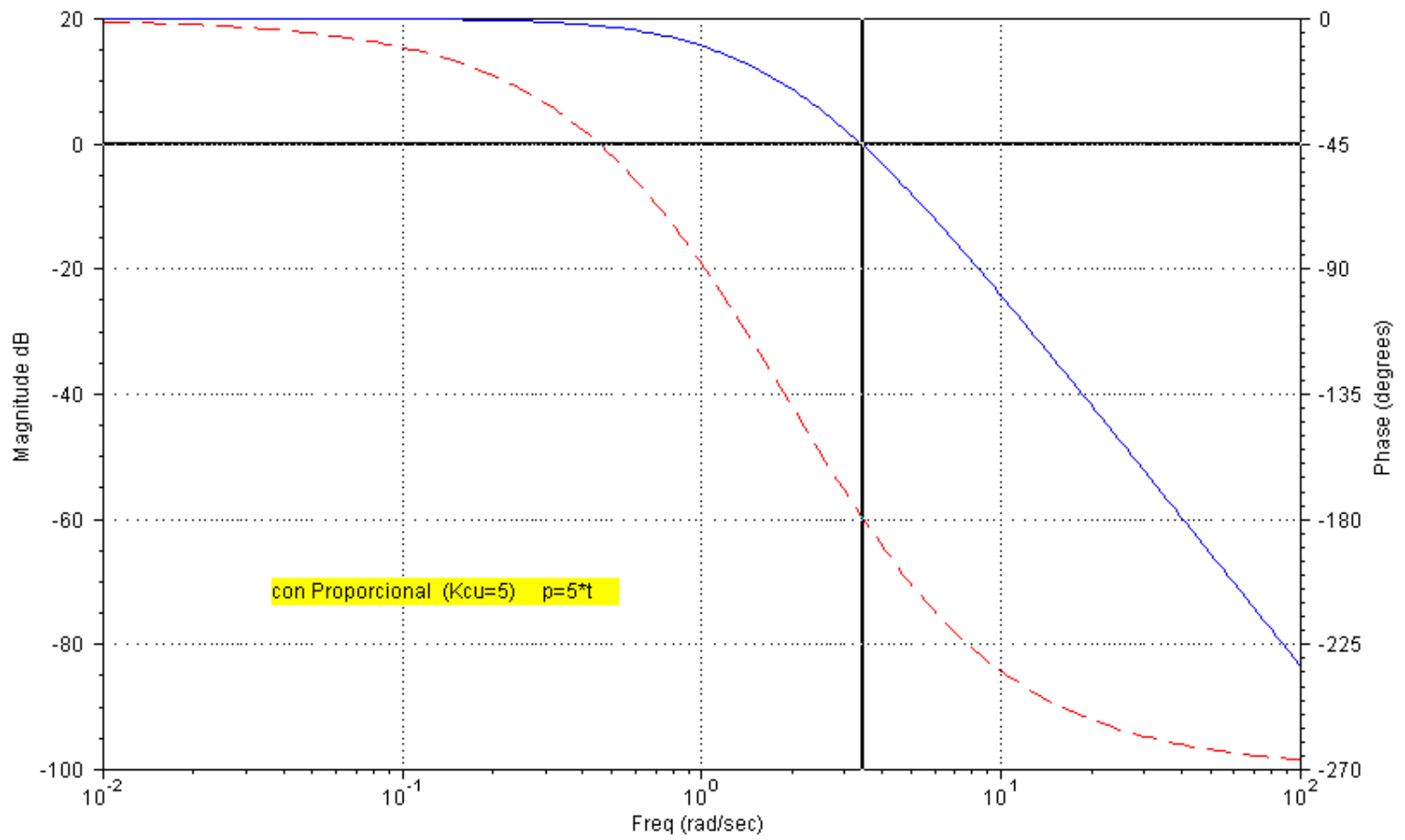




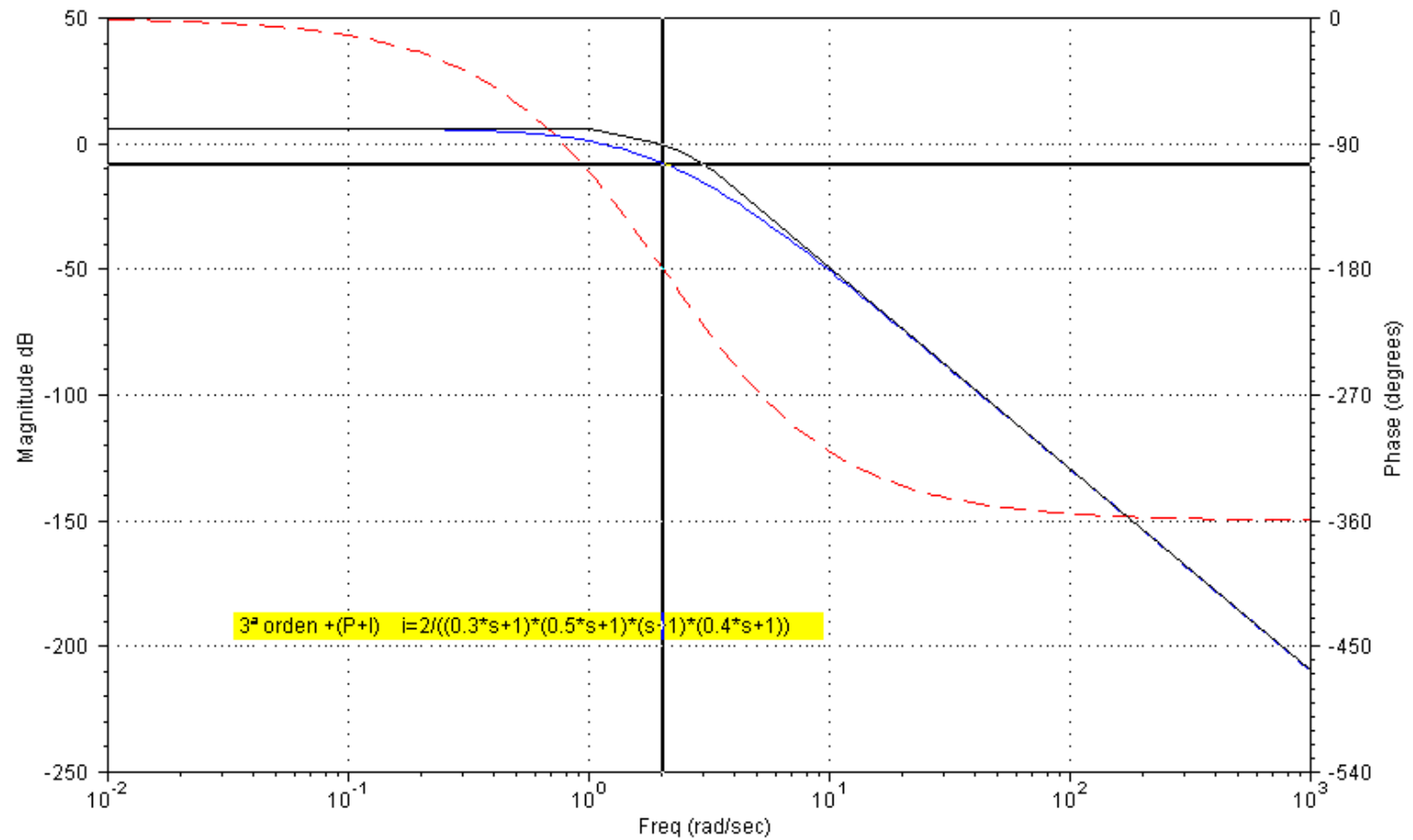
$$T = \frac{2}{(0.3s+1)(0.5s+1)(s+1)}$$

Freq = 3,521 r/s, Mag = 0,1838 (-14,71 dB), Phase = -78,11 deg

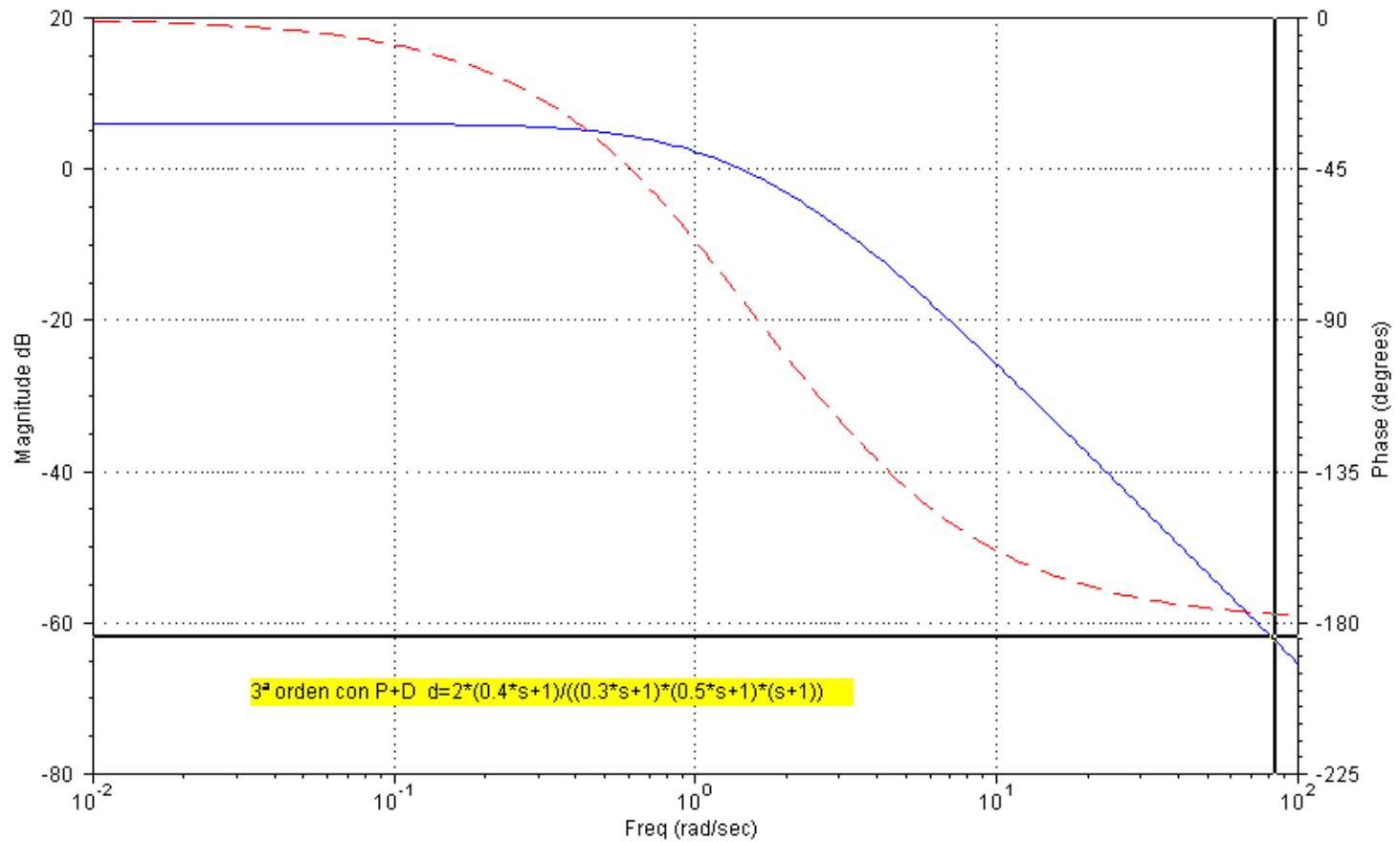




Freq = 3,452 r/s, Mag = 0,9895 (-0,09174 dB), Phase = -45,21 deg



Freq = 2,039 r/s, Mag = 0,3764 (-8,486 dB), Phase = -105,3 deg



Freq = 84,17 r/s, Mag = 0,0008053 (-61,88 dB), Phase = -184,2 deg